

59661

T.C.

CUMHURİYET ÜNİVERSİTESİ
SAĞLIK BİLİMLERİ ENSTİTÜSÜ
BİYOKİMYA ANABİLİM DALI

**BAZI NİTROZAMİNLERİN DİYABETİK RAT KARACİĞER
MİKROZOMAL SİSTEMİ İLE OLUŞTURULAN
DENİTROZASYON VE DEALKİLASYON
TEPKİMELERİNİN İNCELENMESİ**

DOKTORA TEZİ

Yavuz SİLİĞ

Danışman Öğretim üyesi

Doç.Dr. Öge ÇETİNKAYA

SİVAS 1997



Bu tez Cumhuriyet Üniversitesi Senatosunun 5/1/1984 tarih ve 84/1 no'lu kararı ile kabul edilen Tez Yazma Yönergesine göre hazırlanmıştır.



TEŞEKKÜR

Bu çalışmanın gerçekleştirilmesinde ve akademik çalışmalarımın her aşamasında yardımlarını gördüğüm Sayın Hocalarım Prof.Dr. Atilla ATALAY'a ve Doç. Dr. Öge ÇETİNKAYA'ya en içten teşekkürlerimi sunarım.

İÇİNDEKİLER

	Sayfa No
1. GİRİŞ ve AMAÇ	1
2. GENEL BİLGİLER	3
2.1.0. Sitokrom P-450	3
2.1.1. Sitokrom P-450 nin adlandırılması ve sınıflandırılması	3
2.1.2. Sitokrom P-450'nin ksenobiyotik metabolizmasındaki rolü	4
2.2.0. Monooksigenaz Enzim Sistemlerinin verdiği reaksiyonlar	6
2.2.1. Monooksigenaz aktivitesi	6
2.2.2. Oksidaz aktivitesi	7
2.2.3. İndirgeme aktivitesi	7
2.3.0. Nitrozaminler	8
2.3.1. N-Nitrozodimetilamin	11
2.3.2. N-Nitrozodietilamin	13
3. GEREÇ VE YÖNTEMLER	16
3.1.0. Kimyasallar ve Gereçler	16
3.1.1. Kimyasallar	16
3.1.2. Gereçler	16
3.2.0. Hayvanlar ve Enjeksiyonlar	16
3.3.0. Karaciger mikrozomal peletin hazırlanması	17
3.4.0. Protein tayini :	17
3.5.0. pH çalışmaları	18
3.5.1. N-Nitrozodimetilamin'in denitrozasyon ve demetilasyonuna pH'nın etkisi	18
3.5.2. N-Nitrozodietilamin'in denitrozasyon ve dealkilasyonuna pH'nın etkisi	18
3.6.0. N-Nitrozodimetilamin ve N-Nitrozodietilamin'in metabolizmasına NADPH-yenileyen sistemin etkisi	19

3.6.1. N-Nitrozodimetilamin'in denitrozasyon ve demetilasyonuna NADPH-yenileyen sistemin etkisi	19
3.6.2. N-Nitrozodietilamin'in denitrozasyon ve dealkilasyonuna NADPH-yenileyen sistemin etkisi	20
3.7.0. Kinetik Çalışmalar	20
3.7.1. N-Nitrozodimetilamin'in denitrozasyon ve demetilasyon tepkimelerinin kinetik incelenmesi	20
3.7.2. N-Nitrozodietilamin'in denitrozasyon ve dealkilasyonuna tepkimelerinin kinetik incelenmesi	21
3.8.0. İnhibisyon Çalışmaları	21
3.8.1. N-Nitrozodietilamin'in dealkilasyonuna N-Nitrozodimetilamin'in etkisi	21
3.8.2. N-Nitrozodimetilamin'in dealkilasyonuna N-Nitrozodietilamin'in etkisi	22
3.9.0. Metabolitlerin tayini	23
3.9.1. Nitrit tayini	23
3.9.2. Formaldehit tayini	23
3.9.3. Asetaldehit tayini	24
3.9.4. Formaldehit varlığında asetaldehit tayini	24
4. BULGULAR	25
4.1.0. Kimyasal diyabet oluşumu	25
4.2.0. Optimum pH belirlenmesi	25
4.3.0. N-Nitrozodimetilamin ve N-Nitrozodietilamin'in metabolizmasına NADPH-yenileyen sistemin etkisi	28
4.4.0. Km ve Vmax değerlerinin saptanması	30
4.4.1. N-Nitrozodimetilamin'in denitrozasyon ve demetilasyon tepkimelerinin Km ve Vmax değerinin saptanması	30
4.4.2. N-Nitrozodietilamin'in denitrozasyon ve dealkilasyon tepkimelerinin Km ve Vmax değerinin saptanması	33

4.5.0. İnhibisyon çalışmaları	37
4.5.1. N-Nitrozodietilamin'in dealkilasyonuna N-Nitrozodimetilamin'in etkisi	37
4.5.2. N-Nitrozodimetilamin'in dealkilasyonuna N-Nitrozodetilamin'nin etkisi	40
5. TARTIŞMA ve SONUÇ	44
ÖZET	52
SUMMARY	53
KAYNAKLAR	54
ÖZGEÇMİŞ	63

ŞEKİLLERİN DİZİNİ

	Sayfa No
Şekil 1 : Sitokrom P-450'nin hidroksilasyon reaksiyonu mekanizması.	6
Şekil 2 : Nitrozaminlerin dealkilasyon ve denitrozasyon reaksiyonlarının kinetiği.	10
Şekil 3 : NDMA'in denitrozasyonunun optimum pH grafiği.	26
Şekil 4 : NDMA'in demetilasyonunun optimum pH grafiği.	26
Şekil 5 : NDEA'in denitrozasyonunun optimum pH grafiği.	27
Şekil 6 : NDEA'in dealkilasyonunun optimum pH grafiği.	27
Şekil 7 : NDMA'in denitrozasyonuna NADP'in etkisi.	28
Şekil 8 : NDMA'in demetilasyonuna NADP'in etkisi.	28
Şekil 9 : NDEA'in denitrozasyonuna NADP'in etkisi.	29
Şekil 10 : NDMA'in dealkilasyonuna NADP'in etkisi.	29
Şekil 11 : NDMA'in denitrozasyonunun Michaelis-Menten grafiği.	30
Şekil 12 : NDMA'in denitrozasyonunun Lineweaver-Burk grafiği.	31
Şekil 13 : NDMA'in demetilasyonunun Michaelis-Menten grafiği.	32
Şekil 14 : NDMA'in demetilasyonunun Lineweaver-Burk grafiği.	32
Şekil 15 : NDEA'in denitrozasyonunun Michaelis-Menten grafiği.	34
Şekil 16 : NDEA'in denitrozasyonunun Lineweaver-Burk grafiği.	34
Şekil 17 : NDEA'in dealkilasyonunun Michaelis-Menten grafiği.	35
Şekil 18 : NDEA'in dealkilasyonunun Lineweaver-Burk grafiği.	36
Şekil 19 : NDEA'in dealkilasyonuna NDMA'in etkisinin Dixon grafiği. Kontrol grubu.	37
Şekil 20 : NDEA'in dealkilasyonuna NDMA'in etkisinin Dixon grafiği. Diyabet grubu.	38
Şekil 21 : NDEA'in dealkilasyonuna NDMA'in etkisinin Dixon grafiği. Diyabet+Etanol grubu.	38
Şekil 22 : NDEA'in dealkilasyonuna NDMA'in etkisinin Dixon grafiği. Diyabet+İzopropanol grubu.	39

Şekil 23 : NDEA'in dealkilasyonuna NDMA'in etkisinin Dixon grafiği. Diyabet+Aseton grubu.	39
Şekil 24 : NDMA'in demetilasyonuna NDEA'in etkisinin Dixon grafiği. Kontrol grubu.	41
Şekil 25 : NDMA'in demetilasyonuna NDEA'in etkisinin Dixon grafiği. Diyabet grubu.	41
Şekil 26 : NDMA'in demetilasyonuna NDEA'in etkisinin Dixon grafiği. Diyabet+Etanol grubu.	42
Şekil 27 : NDMA'in demetilasyonuna NDEA'in etkisinin Dixon grafiği. Diyabet+İzopropanol grubu.	42
Şekil 28 : NDMA'in demetilasyonuna NDEA'in etkisinin Dixon grafiği. Diyabet + Aseton grubu.	43

TABLOLARIN DİZİNİ

Tablo 1 : Streptozotosin enjekte edilen ratlarda fizyolojik parametreler	25
Tablo 2 : Nitrozodimetilaminin denitrozasyonunun Km ve Vmax değerleri.	31
Tablo 3 : Nitrozodimetilaminin demetilasyonunun Km ve Vmax değerleri	33
Tablo 4 : Nitrozodietilaminin denitrozasyonunun Km ve Vmax değerleri	35
Tablo 5 : Nitrozodietilaminin deetilasyonunun Km ve Vmax değerleri	36
Tablo 6 : Nitrozodietilaminin dealkilasyonuna Nitrozodimetilaminin inhibisyonunun Ki değerleri	40
Tablo 7 : Nitrozodimetilaminin dealkilasyonuna Nitrozodietilaminin inhibisyonunun Ki değerleri	43

1. GİRİŞ ve AMAÇ :

İnsanlar, çevre kirlenmesine neden olan çeşitli kimyasal maddelerin (ksenobiyotikler), ilaçlar ve gıdalardaki katkı maddelerinin artan bir şekilde etkisi altında kalmaktadır. Bu ksenobiyotiklerin çoğu canlıların karaciğer mikrozomal sistemleri tarafından metabolize edilerek konjugatlar halinde vücuttan atılmaktadır. Ksenobiyotik metabolizmasında karışık fonksiyonlu oksidazlar olarak adlandırılan enzim sistemi rol oynar. Bu enzim sisteme ayrıca sitokrom bağımlı monooksigenazlar veya kısaca sitokrom P450 enzimleri denilir. Bu enzim sistemi başta karaciğer olmak üzere bir çok dokuda yer almaktadır(1-4). Mikrozomal monooksigenaz sisteminin aktivitesi, NADPH-sitokrom P450 redüktaz aktivitesi ve P450 miktarının ölçülmesiyle saptandığı bildirilmiştir(5-7).

Çevre kirletici ve aynı zamanda karsinojenik ve mutajenik etkileri olduğu bilinen nitrozaminlerin, metabolize edilmesinde sitokrom P450'in rol oynadığı bilinmektedir(8,9). Sitokrom P450'nin bir çok izoenziminin bulunduğu gösterilmiştir. Bu izoenzimlerden sitokrom P450 IIE1'in N-Nitrozodimetilamin (NDMA) ve N-Nitrozodietilamin (NDEA) in oksidatif denitrozasyonunda ve dealkilasyonunda rol oynadığı gösterilmiştir. Ayrıca sitokrom P450'ye bağlı monooksigenazlar ile oluşturulan oksidatif dealkilasyon ve demetilasyon tepkimeleri sonucu oluşan metabolitler ve nitrozaminlerin kendilerinin nükleik asitler ve proteinlerle etkileşerek yapısal ve işlevsel bozukluklar oluşturduğu gösterilmiştir(10-12).

Nitrozodimetilamin demetilaz (NDMAd) enziminin nitrozamin metabolizmasında etkili olduğu bilinmektedir ve birçok kimyasal indükleyicinin bu sistem üzerinde etkileri çalışılmıştır. Aseton ve izopropil alkol verilen ratlarda NADPH bağımlı NDMAd aktivitesinin arttığı ve NADPH-sitokrom P450 redüktaz aktivitesinde ve sitokrom P450 içeriğinde de ılımlı bir artış olduğu bildirilmiştir(13).

Yang ve arkadaşları nitrozaminleri metabolize eden sistemin diyabet tarafından indüklendiğini göstermişlerdir(9-11). Diyabet sonrası maruz kalınan kimyasal maddelerin bu sistemi nasıl etkilediği sorusuna cevap aramak amacıyla deneysel diyabet oluşturulmuş ve diyabet oluşturulduktan sonra çeşitli kimyasal indükleyiciler (Etanol, Aseton, İzopropanol) verilen ratlarda NDMA ve NDEA'in kinetik parametreleri ile her iki nitrozaminin birbirinin metabolizması üzerindeki etkileri incelenmiştir.

2. GENEL BİLGİLER :

2.1.0. SİTOKROM P450

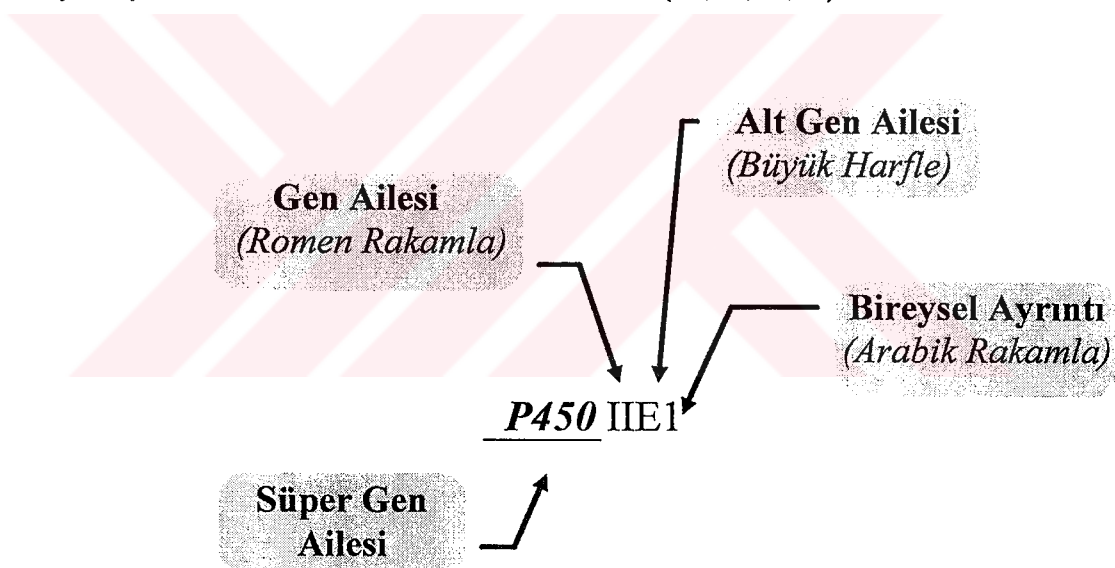
Sitokrom P450, NADPH-sitokrom P450 redüktaz ve fosfolipidlerin dahil olduğu monooksigenaz yada karışık fonksiyonlu oksidazlar diye adlandırılan enzim sisteminin bileşenlerindendir. sitokrom P450'nin araştırıldığı bütün canlı türlerinde ; bakteri, mantar, böcek, bitki, balık ve memelilerde yaygın olarak bulunduğu gösterilmiştir. Bu enzim sistemi insanlarda başta karaciğer olmak üzere bir çok dokuda yer almaktadır(1,4,14).

Enzimler hücrelerde Endoplazmik Retikulum membranına gömülü olarak yer almaktadır. Karaciğer mikrozomal monooksigenaz sisteminin steroidler, yağ asitleri, ilaçlar, karsinojenler ve diğer ksenobiyotiklerin biyotransformasyonlarında önemli rol oynadığı bilinmektedir. Ayrıca sitokrom P450 içeren enzim sisteminin, antikanser ilaçlarının da dahil olduğu bir çok ilaçların aktivasyonunda ve inaktivasyonunda da anahtar enzim olarak rol oynadığı gösterilmiştir(15-17).

2.1.1. Sitokrom P450'nin adlandırılması ve sınıflandırılması :

Sitokrom P450 izoenzimleri çeşitli metodlarla farklı laboratuarlarda saflaştırılmış ve karakterize edilmiştir. Bu gün 221 farklı sitokrom P450 var olduğu son çalışmalarla bildirilmiştir. Bu izoenzimlerin spektral, katalitik özellikleri ve molekül ağırlıkları farklıdır(18,19). Bu enzimler üzerinde çalışan bir çok araştırmacı saflaştırdıkları izoenzimleri adlandırmak için farklı farklı adlandırmalar kullanmışlardır. Çeşitli araştırmacılarca sistematik adlandırmadan önce nitrozaminlerin metabolizmasında rol oynayan sitokrom P450 IIE1'e P450 LM3ac, P450alc, P450DM, P450et, P450ac ve P450j gibi adlar verilmiştir (20-24).

Sitokrom P450 izoenzimleri'nin teknolojik standartizasyonuna yıllarca ihtiyaç duyulmuştur. 1982 yılında Fujii Kuriyama cDNA sini ilk kez rapor etmesinden sonra sitokrom P450'nin Süper gen ailesine göre adlandırılması yeniden yapılmıştır. Bu adlandırmada, sitokrom P450 süper gen ailesi, gen ailesi, alt gen ailesi ve bireysel ayrıntı diye 3 alt grup oluşturulmuştur. Örnek şematize edilerek aşağıda gösterilmiştir. Sitokrom P450 italik olarak (*P450*) yazılır, dahil olduğu gen ailesi(II) romen rakamıyla yazıp arkasından alt gen ailesi (E) büyük harfle yazılır ve sonuna arabik rakamlarla bireysel ayrıntı (1) eklenir. Sitokrom P450 izoenzimlerinin, 12 si bütün memelilerde olmak üzere toplam 36 gen ailesindenoluştuğu bildirilmiştir. İnsanda yaklaşık 70 farklı sitokrom P450 bilinmektedir(17,19,25,26).



2.1.2. Sitokrom P450'nin ksenobiyotik metabolizmasındaki rolü :

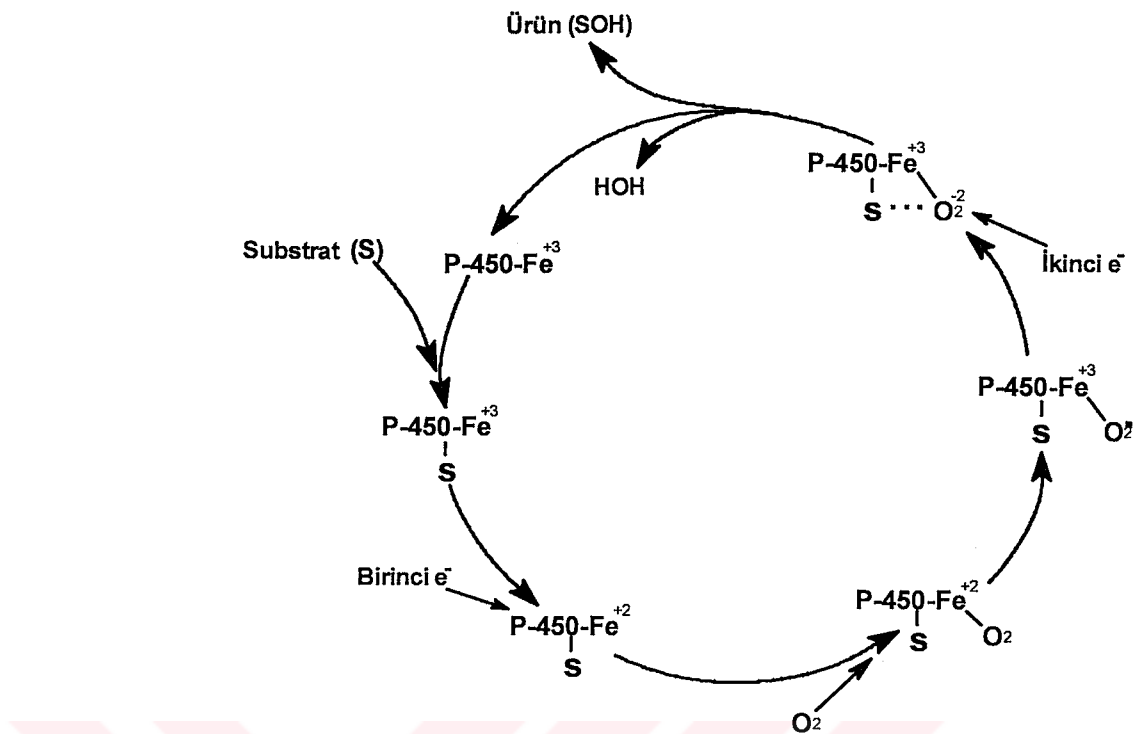
Besinlerle alınan doğal bileşikler dışında kalan çeşitli yollarla insan vucuduna giren kimyasal maddelere ksenobiyotik adı verilir. Çağdaş yaşamda ilaçtan başka, yiyecekler, içecekler ve hava yoluyla bir çok ksenobiyotiğe maruz kalınmaktadır. Bu ksenobiyotiklerin zararlı etkilerini ortadan kaldırmak için oluşturulan biyotransformasyondan mikrozomal enzimler sorumludur. Biyotransformasyon reaksiyonları Faz I ve Faz II tepkimeleri olmak üzere iki ayrı grupda gerçekleşir.

Faz I tepkimesinde, yükseltgenme, indirgenme ve hidroliz reaksiyonları gerçekleşir. İlk ikisinde molekül üzerindeki bir kimyasal grubun daha polar bir gruba dönüşmesi söz konusudur. Üçüncüsünde ise esterleşme veya eterleşme sonucu maskelenmiş bir polar grup kopması sonucu serbest hale gelir. Sitokrom P450 gerçekleştirdiği hidroksilasyon olayı şekil 1 de gösterilmiştir.

Faz II tepkimesi ise, Faz I tepkimesi sonucu oluşan moleküllerin değişen kısmı üzerinde olur. Bu tepkimeler ; glukoronidasyon, sülfasyon, glutatyon konjugasyonu, amino asit konjugasyonu, metilasyon ve asetilasyondur.

Ksenobiyotik metabolizmasındaki bu 2 fazın baştan sona amacı, ksenobiyotiklerin sudaki çözünürlüklerini artttırmak ve böylece vücuttan atılımlarını kolaylaştırmaktır. Bazı durumlarda, Faz I tepkimesi ile ksenobiyotikler inaktif formdan biyolojik aktif bileşikler haline dönüşürler. Bu durumlarda orijinal ksenobiyotiklere proilaçlar veya prokarsinojenler denilir(1,3,27).

Ksenobiyotik olan nitrozaminlerden NDMA'nın Faz I tepkimesinde sitokrom P450 IIE1 tarafından hidrofobik bir ürüne çevrilmesi ve NDMA dealkilaz aktivitesi sonucu alkilleyici ara ürünlerin oluşumu karsinojenik aktivitenin ortayamasına yol açarken, NDMA denitrosazyonu sonucu alkilleyici olmayan ara ürünlere çevrilmesiylede detoksifiye olduğu bildirilmiştir(11,28,29).



Şekil 1 : Sitokrom P450'nin hidroksilasyon reaksiyonu mekanizması (16)

2.2.0. Monooksigenaz Enzim Sistemlerinin verdiği reaksiyonlar

2.2.1 Monooksigenaz Aktivitesi :

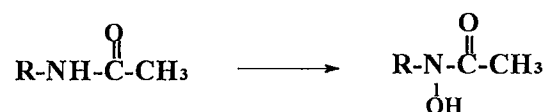
1. Hidroksilasyon



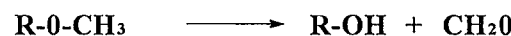
2. Epoksidasyon



3. N - Hidroksilasyon



4. O-Dealkilasyon



2.2.2. Oksidaz Aktivitesi :

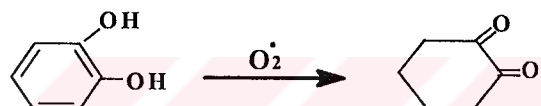
1. Aromatik Hidroksilasyon :



2. Etanol Oksidasyonu :



3. Katekol Oksidasyonu :

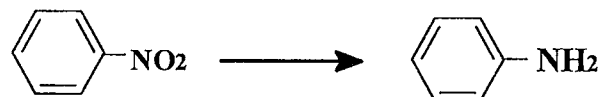


2.2.3. İndirgeme Aktivitesi :

1. Azo İndirgenme :



2. Nitro İndirgenme :

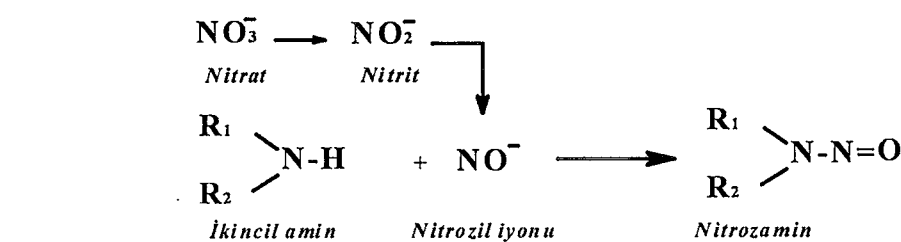


3. Redüktif Dehalojenasyon :



2.3.0. NİTROZAMİNLER :

Nitrozaminler karsinojenik ve mutagenik bileşiklerdir. Çevresel kaynaklardan alınabilecegi gibi memeli midesinde de öncülleri olan ikincil amin ve nitritlerden oluşturulduğu gösterilmiştir(30).



Nitrosamin oluşumu için gerekli ikincil aminler balık ürünler, tahıl, çay, sigara ve sigara dumanında mevcuttur. Ayrıca bir çok ilaç yapısında ikincil aminin bulunduğu bildirilmiştir(30-33).

Nitrozaminlerin oluşumunda etkili olan nitritlerin kimyasal maddeler, zirai ilaçlar, su ve bitkilerde büyük oranda bulunduğu bilinmektedir. Ayrıca doğada yaygın olarak bulunan nitratin bakteriler tarafından nitrite indirgenmesiyle de oluşmaktadır(31,34,35).

Nitrozaminlerin yanlış memeli midesinde değil fizyolojik koşullarda da yüksek verimle olduğu gösterilmiştir(36,37).

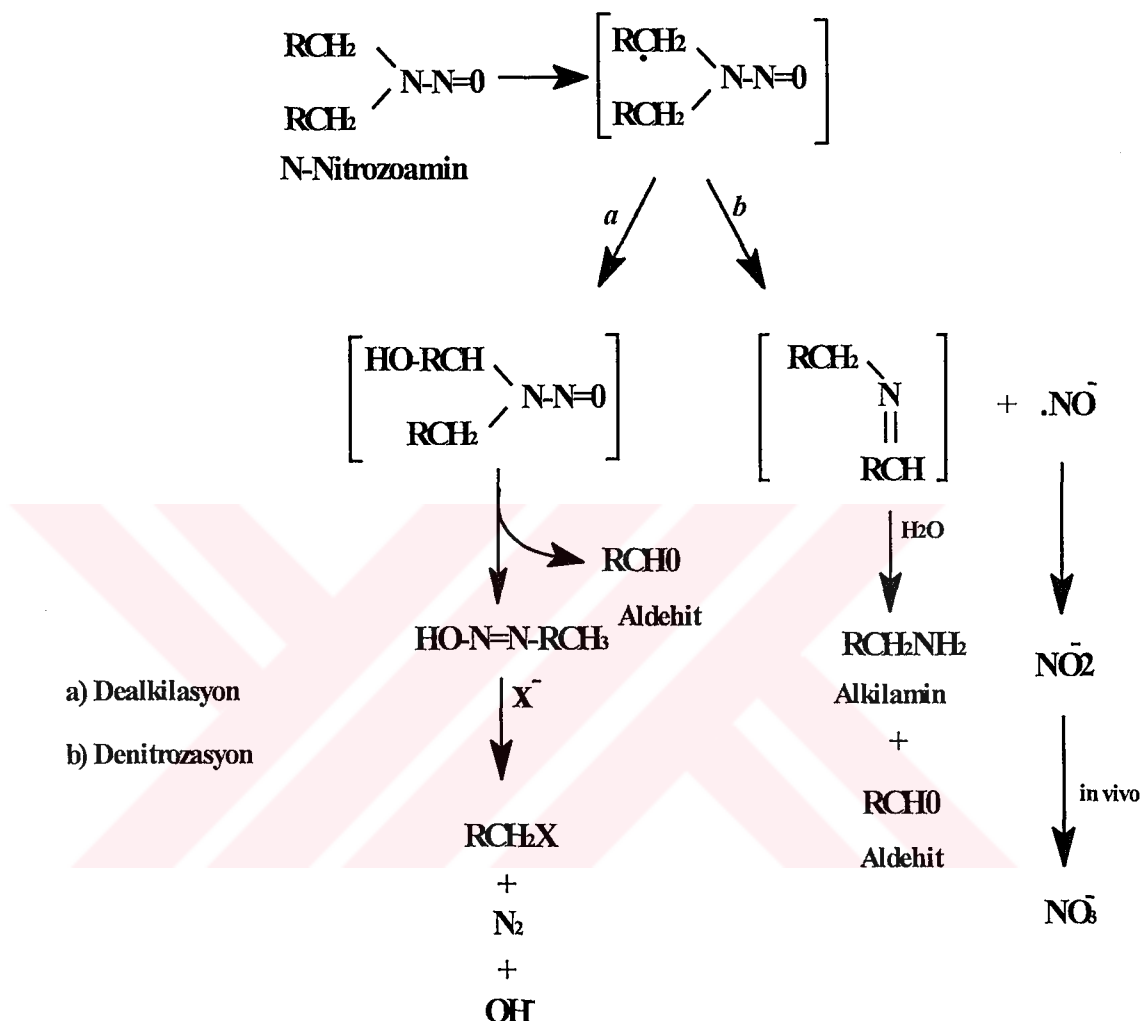
Çalışılan bütün deney hayvanlarında nitrozaminlerin mutasyonlara neden olduğu tümör oluşumunu artırdığı, karsinojenik ve mutagenik etkisini çoğunlukla mikrozomal sistem tarafından aktive edildikten sonra gösterdiği bildirilmiştir(38).

Nitrozaminlerin oksidatif dealkilasyonunun (metabolik aktivasyon) ve redüktif denitrozasyonunun (deaktivasyon) sitokrom P450, NADPH-sitokrom P450 redüktaz ve fosfolipid içeren monooksigenaz sistem tarafından gerçekleştirildiği gösterilmiştir. Aktivasyon işlemi, sitokrom P450 bağımlı tepkimelerle nitrozaminlerin α karbonunun oksitlenmesiyle gerçekleşir, NDMA ve NDEA'nın metabolik aktivasyonunda sitokrom P450 IIE1 önemli rol oynadığı bir çok araştırmacı tarafından gösterilmiştir(9,21,39,40).

Nitrozaminlerin sitokrom P450 IIE1'in aktif bölgesine bağlanma çalışmalarında, alkil gruplarının N-Nitrozo gruplarından çok daha önemli rol aldığı gösterilmiştir. Yapılarının benzerliğinden dolayı NEMA ve NDEA de sitokrom P450 IIE1 tarafından tercih edilirler. N-Nitrozoprolidinin de sitokrom P450 IIE1 tarafından tercih edildiği gösterilmiştir. Büyük alkil zinciri içeren nitrozaminlerde N-Nitrozobütilmetilaminin demetilasyonu sitokrom P450 IIE1 tarafından katalizlenirken debütasyonunun sitokrom P450 IIB1 tarafından daha etkili olarak katalizlendiği bildirilmiştir(9,11,41).

Nitrozaminin α karbonu sitokrom P450'nin katıldığı bir reaksiyonla hidroksilenir(Şekil 2). Hidroksillen bu yeni ürün (α -Nitrozo alkol) kararlı değildir. α -Nitrozo alkol alkildiazohidroksit ve aldehit de dönüşür. Alkildiazohidroksit metilleyici bir ajandır. Oluşan bu ajan DNA ve diğer hücresel moleküllerle reaksiyon vererek karsinojenik ve sitotoksik etkili olur. Bu olay nitrozaminlerin aktivasyonu yada dealkilasyon yolu olarak bilinir.

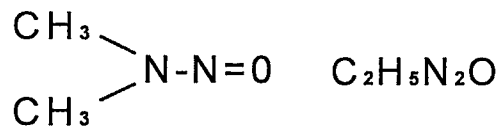
Alternatif bir yol olarak α -Nitrozamin radikal nitrik oksit ve hidrolizlenmesi sonucu aldehit ve alkil amine dünüşen imino ya çevrilir. Nitrik oksit yükseltgenerek nitrite dönüşür. Bilinen bir alkilleyici ajan meydana gelmediği için bu denitrozasyon yolu I genellikle detoksifikasyon yolu olarak bilinir(9,11,42,43)



Şekil 2 : Nitrozaminlerin dealkilasyon ve denitrozasyon reaksiyonlarının akış şeması(9).

2.3.1. N-Nitrozodimetilamin

1.1. Yapısı molekül formülü ve ağırlığı



Mol Ağırlığı : 74.1 gr/mol

1.2. NDMA'nın fiziksel ve kimyasal özellikleri

- a . Görünüşü : Sarı, sıvı
- b. Kaynama noktası : 151 °C (760 mm Hg)
- c. Yoğunluğu : 1.0061 kg/lt
- d. Kırılma İndisi : 1.4363
- e. Spektroskopik Özelliği : λ_{max} 230 ve 232 nm ($\epsilon = 979,9$ ve 12,8)
- f. Çözünürlüğü : Suda, organik çözücülerde ve lipidlerde çözülür.
- g. Dayanıklılığı : Karanlıkta oda sıcaklığında, nötral ve alkali çözücüler içinde 14 gün dayanıklıdır. Asitik çözeltilerde daha az kararlıdır(38).

NDMA 1895 yılında ilk kez Renouf tarafından dimetilaminin, asitik çözeltisi ile sodyum nitritin tepkimesi sonucu elde edilmiştir. Sıvı roket yakıtı olan 1,1-dimetilhidrazinin sentezinde ve endüstride çözücü olarak kullanıldığı bildirilmiştir(38,44).

Dimetilamin kullanan bir fabrikada havada 0-140 ng /m³ NDMA bulunduğu, ayrıca fabrikanın atık sularının verildiği kanalizasyonunda 3.0 µg/lt ve deniz suyunda 0.08-0.25 µg/lt NDMA bulunduğu saptanmıştır(45,46).

Çeşitli peynir örneklerinde NDMA analizi yapılmış 26 farklı peynirde NDMA 2-68 µg/kg düzeyinde bulunmuştur. 16 farklı sebzede yapılan deneylerde NDMA bulunamamıştır. Fakat taze rafine edilmiş soya fasulyesi yağında 0-20 µg/kg NDMA bulunduğu bildirilmiştir(38,47).

Johnson ve Rhoades adlı araştırmacılar bir sigarada 0-140 ng NDMA bulunduğu saptamışlardır. Bir başka araştırmacı sigara dumanı ile dolu bir odanın havasında 90-240 ng/m³ NDMA bulunduğuunu bildirmiştir(48).

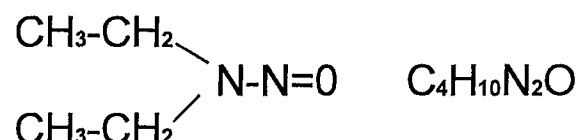
Farelere laboratuvar koşullarında 250 ng Na-nitrit ve 50 ng dimetilamin gavaj yoluyla verildiğinde in vivo NDMA olduğu gösterilmiştir(49).

NDMA'le deney hayvanlarında yapılan bir çok çalışma sonucunda bu maddenin toksik ve karsinojenik etkilere sahip olduğu saptanmıştır(50,51). Bu nitrozaminin kendisinden çok metabolitlerinin karsinojenik ve mutagenik etkileri olduğu bir çok araştırmacı tarafından gösterilmiştir. NDMA in başlıca metabolize olduğu yer karaciğer mikrozomal sistemdir. Rat, fare ve kemirgen karaciğer mikrozomlarında NDMA'nın demetilasyonla formaldehyde ve denitrozasyonla nitrite dönüştüğü bir çok çalışmada gösterilmiştir. NDMA in mikrozomal metabolizmasında sitokrom P450 izoenzimlerinden sitokrom P450 IIE1 in rol oynadığı bildirilmiştir (11,52-54).

NDMA mikrozomal ara ürünlerinin nükleik asit ve proteinlerde alkilasyona neden oldukları gösterilmiş ve nükleik asitlerde alkilasyon sonucu oluşan ana ürünün 7-metilguanin olduğu saptanmıştır. Ayrıca 1-metil, 3-metil ve 7-metiladenin, O-6 metil ve 3-metilguanin, 3-metilsitozin, 3-metil ve O-4 metiltimidin de olduğu bildirilmiştir. NDMA in vivo olarak DNA yi alkillediği gibi RNA yida alkilleyerek çeşitli metilasyonlar oluşturduğu bulunmuştur(55-58).

2.3.2. N-Nitrozodietilamin :

1.1. Yapısı molekül formülü ve ağırlığı



Mol Ağırlığı : 102.1 gr/mol

1.2. NDEA'nın fiziksel ve kimyasal özellikleri

- a . Görünüşü : Sarı
- b. Kaynama noktası : 177 °C (760 mm Hg)
- c. Yoğunluğu : 0.9422 kg/lt
- d. Kırılma İndisi : 1.4386
- e. Spektroskopik Özelliği : λ_{max} 230 ve 340 nm ($\epsilon = 726,7$ ve $8,3$)
- f. Çözünürlüğü : Suda, organik çözücülerde ve lipidlerde çözünür.
- g. Dayanıklılığı : Karanlıkta oda sıcaklığında, nötral ve alkali çözücüler içinde 14 gün dayanıklıdır(38).

NDEA ilk kez 1863 de Geuther ve Kreutzhage tarafından dietilamin ile nitröz asitin tepkimesi sonucu elde edilmiştir(38).

Sigara dumanı, su, hava ve peynir, balık ve et ürünlerinde bulunan ayrıca, tekstil ürünlerinin hazırlanmasında, yağ ve kauçuk endüstrisinde kullanılan NDEA nin ratlarda kanserojenik ve mutajenik etkilerinin yüksek olduğu saptanmıştır (38,48,59).

NDEA'nın fare karaciğer, akciğer ve böbrek mikrozomal sistemleri tarafından, mutajenik ve karsinojenik etkisi nitrozaminden daha fazla olan, ara ürünlere dönüştürüldüğü bildirilmiştir(60,61). NDEA'in mikrozomal denitrozasyon ve dealkilasyon reaksiyonlarını sitokrom P450 izoenzimlerinden sitokrom P450 IIE1 ve sitokrom P450 IIA6 tarafından gerçekleştirildiği gösterilmiştir(9,62).

NDEA ile beslenen farelerde bir kaç hafta sonra DNA replikasyonunda artma olduğu ve daha sonra normal düzeye indiği bildirilmiştir. Kanser oluşumu sırasında DNA polimeraz α aktivitesinde artış olurken DNA polimeraz β aktivitesinde daha yavaş bir artış olduğu saptanmıştır. Ayrıca NDEA ile başlayan kanserleşme sırasında DNA polimeraz α - β enzimlerinde ardisık dizi değişiklikleri olduğu ve DNA yi alkillediği bildirilmiştir(55,63-65). DNA'nın alkilleşmesi, pürin bazlarından Adeninin N-1, N-3, N-7, Guaninin N-3, N-7, 0-6, 0-8, pirimidin bazlarından Stozinin N-3 nolu atomlarında gerçekleşmiştir(66).

NDEA'nın düşük derişimlerinde poliploidi, halka kromozom ve kromozom kırıkları oluşturduğu, yüksek derişimlerde kırık sayısının arttığı ve hücre bölünmesinin durması bu bileşiklerin oldukça toksik ve mutajenik etkilere sahip olduklarını ortaya koymaktadır(67).

NDEA'nın in vitro ve in vivo ortamlarda enzim aktiviteleri üzerine çeşitli etkileri olduğu bilinmektedir. NDEA'in sıçan karaciğer amino asit metabolizma enzimlerinden Triptofan Oksijenaz, Tirozin ve Ornitin Transferaz, Serin Dehidrataz ve Histidaz'i inhibe ettiği gösterilmiştir(68).

Atalay ve arkadaşları NDEA in sıçan karaciğer dokusunda Laktat dehidrogenaz, fare karaciğerinde Malat dehidrogenaz in vitro koşullarda ise maya Glukoz-6-fosfat dehidrogenazını inhibe ettiğini göstermişlerdir. Ayrıca fare karaciğer Na/K ATP az aktivitesi üzerine NDEA, NMOR ve Npyr nin etkileri çalışılmış ve NDEA nin enzimi % 77 oranında aktive ettiğini buna karşılık NMOR, Npyr ile % 30 ve % 20 oranında inhibisyon oluştuğu gösterilmiştir(69-72).

NDEA'in insan eritrosit membranından L-Valin amino asiti taşımını inhibe ettiği de saptanmıştır(73).

3. GEREÇ VE YÖNTEMLER

3.1.0. Kimyasallar ve Gereçler

3.1.1. Kimyasallar

Deneyleerde kullanılan Streptozotosin (STZ), Glukoz-6-fosfat (G-6-P), Glukoz-6-fosfat dehidrogenaz (G-6-P DH), Redükte β -Nikotinamidadenindinük-leotid(NADPH), NDMA, NDEA, Sığır Serum Albumin (BSA) Coomassie Blue G 250, Asetilaseton, Sülfanilik asit, N-1-Naftiletilendiamin dihidroklorit, p-Hidroksibifenil, Formaldehit, Asetaldehit, Sodyum Nitrit, ve diğer kimyasal maddeler Sigma ve Merck firmalarından sağlandı.

3.1.2. Gereçler

Dokuların homojenizasyonunda B.Braun Potter Elvejhen doku homogenizatörü, mikrozomal fraksiyonun elde edilmesinde ise Beckman L5-75 B ultrasantrifüjü ile Beckman J2-21 soğutmalı santrifüjleri kullanıldı. Ayrıca enzim aktivitesinin ölçülmesi için LKB-Bromma su banyosu ve ısıticili Hitachi model 220 spektrofotometre kullanıldı.

3.2.0. Hayvanlar ve Enjeksiyonlar

Deney için kullanılan yaklaşık 150-260 gr ağırlığındaki Wistar Albino cinsi ratlar Cumhuriyet Üniversitesi Deney Hayvanları Laboratuvarından sağlandı.

Biri kontrol grubu olmak üzere 4 ayrı deney grubu için, her grupta 6 adet olmak üzere toplam 30 adet rat kullanıldı. Kontrol grubu hariç diğer grumlara 65 mg/kg vücut ağırlığı Streptozotosin (0.05 M sitrat tamponunda pH: 4.50) i.p. olarak

enjekte edildi(74). Kontrol grubuna aynı miktarda serum fizyolojik enjekte edildi. On gün sonra kontrol grubu ve I. grup öldürülüdü. II. gruba öldürülmesinden 18 saat önce % 25 lik Aseton içeren çözeltiden 2.5 ml/ kg gavaj yoluyla verildi. III. gruba öldürülmesinden 24 saat önce % 25 İzopropil alkol içeren çözeltiden 2.5 ml/kg gavaj yoluyla verildi. IV. grubun içme sularına üç gün boyunca % 15 lik etanol çözeltisi karıştırılarak içmeleri sağlandı(21,80).

3.3.0. Karaciger mikrozomal peletin hazırlanması

Ratlar 8 saat aç bırakıldıktan sonra eter ile bayıltılıp kan glukoz seviyelerine bakmak için kalplerinden kan alındı. Karaciğerleri çıkartıldı. Gram yaşı doku başına 3ml 154 mM KCl, 10mM EDTA eklendi ve B.Braun marka doku homogenizatöründe dört vuruşta homojenize edildi. Parçalanmamış hücrelerin membran kalıntılarının ve mitokondrilerin uzaklaştırılması için + 4 °C de 15.000g de 30 dakika santrifüj edildi. Elde edilen dökelti Beckman L5-75 B ultrasantrifüjle + 4 °C de, 105.000g de 60 dakika santrifüj edildi. Daha saf mikrozomal pellet elde etmek için pelet taze tamponla yeniden süspansed edildikten sonra 105.000g de tekrar santrifüjlendi(75). Elde edilen pelet aynı tampon ile istenilen protein derişiminde (1mg/ml protein olacak şekilde) sulandırıldı.

3.4.0. Protein tayini

100mg Coomossie Brilliant Blue-G250, 50 ml % 95 lik etanol içinde çözüldü. 100 ml % 85 lik fosforik asitle karıştırdı. toplam hacim distile suyla 1 lt ye tamamlandı. Çözünmeyen kısım süzülüp atıldı. Bu çözeltinin 1-2 hafta dayanıklı olduğu göz önünde bulundurularak kullanıldı.

Numuneler 20 dakika sonra spektrofotometrede köre karşı 595 nm dalga boyunda okundu. Sığır serum albumin ile hazırlanan standard eğri yardımıyla numunelerin derişimi bulundu. Son derişimi 1 mg/ml olacak şekilde sulandırılıp deneyler sırasında kullanılmak üzere -20 °C de saklandı(76).

3.5.0. pH çalışmaları

3.5.1. N-Nitrozodimetilaminin denitrozasyon ve demetilasyonuna pH'nın etkisi

Değişik pH değerlerinde (6.0, 6.5, 7.0, 7.5, 8.0, 8.5) 10 mM MgCl₂ , 150 mM KCl, 50 mM Tris-HCl içeren tamponlar hazırlandı. Toplam hacim 1 ml olacak şekilde 40 mM NDMA'dan, tamponlardan ve mg/ml mikrozomal fraksiyondan 0.5 mg/ml ilave edildi. İki dakika 37 °C de inkübe edildi. ve NADPH-yenileyen sistemin (0.4 mM NADP, 10 mM Glukoz-6-Fosfat, 0.2 U Glukoz-6-Fosfat Dehidrogenaz) ilavesiyle tepkime başlatıldı. Onbeş dakika 37 °C de inkübasyondan sonra 100 µl % 25 lik ZnSO₄ ve 100 µl doymuş Ba(OH)₂ ilave edilerek reaksiyon durduruldu(75) Santrifüj edilip dökeltide nitrit(NO₂) ve formaldehit (HCHO) tayini yapıldı.

Kontrol ve diğer 4 deney grubu için her pH değerinde deneyler tekrarlandı.

3.5.2. N-Nitrozodietilamin'in denitrozasyon ve dealkilasyonuna pH'nın etkisi

Değişik pH değerlerinde (6.0, 6.5, 7.0, 7.5, 8.0, 8.5) 10 mM MgCl₂ , 150 mM KCl 50 mM Tris-HCl içeren tamponlar hazırlandı. Toplam hacim 1 ml olacak şekilde 40 mM NDEA'dan, tamponlardan ve mg/ml mikrozomal fraksiyondan 0.5 mg/ml ilave edildi. İki dakika 37 °C de inkübe edildi ve NADPH-yenileyen sistemin (0.4 mM NADP, 10 mM Glukoz-6-Fosfat, 0.2 U Glukoz-6-Fosfat Dehidrogenaz)

ilavesiyle tepkime başlatıldı. Onbeş dakika 37 °C de inkübasyondan sonra 100 µl % 25 lik ZnSO₄ ve 100 µl doymuş Ba(OH)₂ ilave edilerek tepkime durduruldu. Santrifüj edilip dökeltide nitrit(NO₂) ve asetaldehit (CH₃CHO) tayini yapıldı.

Kontrol ve diğer 4 deney grubu için her pH değerinde deneyler tekrarlandı.

3.6.0. N-Nitrozodimetilamin ve N-Nitrozodietilamin'in metabolizmasına NADPH-yenileyen sistemin etkisi

3.6.1. N-Nitrozodimetilamin'in denitrozasyon ve demetilasyonuna NADPH-yenileyen sistemin etkisi

0.134, 0.286 ve 0.536 mM olmak üzere NADP üç farklı derişimde olan ve 10 mM Glukoz-6-Fosfat, 0.2U Glukoz-6-Fosfat Dehidrogenaz içeren NADPH-Yenileyen sistem hazırlandı. Toplam hacim 1 ml olacak şekilde 10 mM MgCl₂ , 150 mM KCl 50 mM Tris-HCl pH : 7.4 tampondan, 40 mM NDMA'dan, ve mg/ml mikrozomal fraksiyondan 0.5 mg/ml ilave edildi. İki dakika 37 C de inkübe edildi ve NADPH-yenileyen sistemin ilavesiyle tepkime başlatıldı. Onbeş dakika 37 °C de inkübasyondan sonra 100 µl % 25 lik ZnSO₄ ve 100 µl doymuş Ba(OH)₂ ilave edilerek tepkime durduruldu . Santrifüj edilip dökeltide nitrit(NO₂) ve formaldehit (HCHO) tayini yapıldı.

Kontrol ve diğer 4 deney grubu, için üç farklı NADPH-yenileyen Sistem kullanılarak deneyler tekrarlandı.

3.6.2. N-Nitrozodietilamin'in denitrozasyon ve dealkilasyonuna NADPH-yenileyen sistemin etkisi

0.134, 0.286 ve 0.536 mM olmak üzere NADP üç farklı derişimde olan ve 10 mM Glukoz-6-Fosfat, 0.2U Glukoz-6-Fosfat Dehidrogenaz içeren NADPH-Yenileyen sistem hazırlandı. Toplam hacim 1 ml olacak şekilde 10 mM MgCl₂, 150 mM KCl, 50 mM Tris-HCl pH : 7.4 tampondan, 40 mM NDEA'dan, ve mg/ml mikrozomal fraksiyondan 0.5 mg/ml ilave edildi. İki dakika 37 °C de inkübe edildi. NADPH-yenileyen sistemin ilavesiyle tepkime başlatıldı. Onbeş dakika 37 °C de inkübasyondan sonra 100 µl % 25 lik ZnSO₄ ve 100 µl doymuş Ba(OH)₂ ilave edilerek tepkime durduruldu. Santrifüj edilip dökeltide nitrit(NO₂) ve asetaldehit (CH₃CHO) tayini yapıldı.

Kontrol ve diğer 4 deney grubu, için üç farklı NADPH-yenileyen Sistem kullanılarak deneyler tekrarlandı.

3.7.0. Kinetik çalışmalar

3.7.1. N-Nitrozodimetilamin'in denitrozasyon ve demetilasyon tepkimelerinin kinetik incelenmesi

NDMA'in denitrozasyon ve demetilasyon tepkimelerinin Km ve Vmax değerlerini saptamak için 10, 20, 40, 80, 160, 320, mM NDMA çözeltileri hazırlandı. Toplam hacim 1 ml olacak şekilde 10 mM MgCl₂, 150 mM KCl, 50 mM Tris-HCl pH : 7.4 tampondan, NDMA çözeltilerinden, ve mg/ml mikrozomal fraksiyondan 0.5 mg/ml ilave edildi. İki dakika 37 °C de inkübe edildi. NADPH-yenileyen sistemin

(0.4 mM NADP, 10 mM Glukoz-6-Fosfat, 0.2 U Glukoz-6-Fosfat Dehidrogenaz) ilavesiyle tepkime başlatıldı. Onbeş dakika 37 °C de inkübasyondan sonra 100 µl % 25 lik ZnSO₄ ve 100 µl doymuş Ba(OH)₂ ilave edilerek tepkime durduruldu. Santrifüj edilip dökeltide nitrit(NO₂) ve formaldehit (HCHO) tayini yapıldı.

Kontrol ve diğer 4 deney grubu için deneyler tekrarlandı.

3.7.2. N-Nitrozodietilamin'in denitrozasyon ve dealkilasyon tepkimele- rinin kinetik incelenmesi :

NDEA'in denitrozasyon ve deetilasyon reaksiyonlarının Km ve Vmax değerlerini saptamak için 10, 20, 40, 80, 160, 320, mM NDEA çözeltileri hazırlandı. Toplam hacim 1 ml olacak şekilde 10 mM MgCl₂, 150 mM KCl, 50 mM Tris-HCl pH : 7.4 tampondan, NDEA çözeltilerinden, ve mg/ml mikrozomal fraksiyondan 0.5 mg/ml ilave edildi. İki dakika 37 °C de inkübe edildi. NADPH-yenileyen sistemin (0.4 mM NADP, 10 mM Glukoz-6-Fosfat, 0.2 U Glukoz-6-Fosfat Dehidrogenaz) ilavesiyle tepkime başlatıldı. Onbeş dakika 37 °C de inkübasyondan sonra 100 µl % 25 lik ZnSO₄ ve 100 µl doymuş Ba(OH)₂ ilave edilerek tepkime durduruldu. Santrifüj edilip dökeltide nitrit(NO₂) ve asetaldehit (CH₃CHO) tayini yapıldı.

Kontrol ve diğer 4 deney grubu için deneyler tekrarlandı.

3.8.0. İnhibisyon Çalışmaları

3.8.1. N-Nitrozodietilamin'in dealkilasyonuna N-Nitrozodimetilamin'in etkisi

NDEA'in dealkilasyonuna NDMA'in etkisini incelemek amacıyla 10, 20, 40, 80, mM NDEA ve 10, 20, 40, 80 mM NDMA çözeltileri hazırlandı. Her NDEA derişiminin bulunduğu ortama yukarıdaki derişimlerde NDMA ilave edilip toplam

hacim 1 ml olacak şekilde 10 mM MgCl₂, 150 mM KCl, 50 mM Tris-HCl pH : 7.40 tampondan, ve mg/ml mikrozomal fraksiyondan 0.5 mg/ml ilave edildi. İki dakika 37°C de inkübe edildi. NADPH-yenileyen sistemin (0.4 mM NADP, 10 mM Glukoz-6-Fosfat, 0.2 U Glukoz-6-Fosfat Dehidrogenaz) ilavesiyle tepkime başlatıldı. Onbeş dakika 37 °C de inkübasyondan sonra 100 µl % 25 lik ZnSO₄ ve 100 µl doymuş Ba(OH)₂ ilave edilerek tepkime durduruldu. Santrifüj edilip dökeltide asetaldehit (CH₃CHO) tayini yapıldı.

Kontrol ve diğer 4 deney grubu için deneyler tekrarlandı

3.8.2. N-Nitrozodimetilamin'in dealkilasyonuna N-Nitrozodietilamin'in etkisi :

NDMA'in dealkilasyonuna NDEA'in etkisini incelemek amacıyla 10, 20 40, 80, mM NDMA ve 5, 10, 20, 400, 80 mM NDEA çözeltileri hazırlandı. Her NDMA derişiminin bulunduğu ortama yukarıdaki derişimlerde NDEA ilave edilip toplam hacim 1 ml olacak şekilde 10 mM MgCl₂, 150 mM KCl, 50 mM Tris-HCl pH : 7.40 tampondan, ve mg/ml mikrozomal fraksiyondan 0.5 mg/ml ilave edildi. İki dakika 37°C de inkübe edildi. NADPH-yenileyen sistemin (0.4 mM NADP, 10 mM Glukoz-6-Fosfat, 0.2 U Glukoz-6-Fosfat Dehidrogenaz) ilavesiyle tepkime başlatıldı. Onbeş dakika 37 °C de inkübasyondan sonra 100 µl % 25 lik ZnSO₄ ve 100 µl doymuş Ba(OH)₂ ilave edilerek tepkime durduruldu. Santrifüj edilip dökeltide formaldehit (HCHO) tayini yapıldı.

Kontrol ve diğer 4 deney grubu için deneyler tekrarlandı

3.9.0. Metabolitlerin tayini :

3.9.1. Nitrit tayini :

Nitrit, sülfanilik asit ve N-1-Naftiletilendiamin dihidroklorit'in tepkimesi sonucu oluşan azo bileşiklerin kolorimetrik olarak ölçülmesi esasına dayanır. Deney sonucunda elde edilen dökeltiden 350 µl alınıp 75 µl 100mM sülfanilik asit ile (3 N HCl içinde) karıştırıldı 5 dakika sonra 75 µl 1 mM N-1-Naftiletilendiamin dihidroklorit (3 N HCl içinde) eklendi. Oda sıcaklığında 10 dakika inkübe edildikden sonra spektrofotometrede 546 nm'de köre karşı okundu(77).

Standard olarak NaNO₂ kullanılarak standard eğri çizildi. Standard eğri yardımıyla nitrit miktarları tayin edildi. Sonuçlar nmol nitrit /mg mikrozomal protein/dakika olarak verildi.

3.9.2. Formaldehit tayini :

Formaldehit'in Nash reaktifi (15 gr Amonyum asetat, 0.2 ml Asetilaseton % 3 lük 18 ml Asetik asit içinde) ile tepkimesi sonucu sarı renkli bir bileşik (3,5-diasetil-1,4-dihidrolutidine) oluşur. Yöntem bu oluşan ürünün spektrofotometre de 412 nm dalga boyunda izlenmesine dayanır. Deney sonucunda elde edilen dökeltiden 350 µl alınıp üzerine 150 µl Nash reaktifi ilave edilip karıştırıldı. 30 dakika 50 °C de inkübe edildi. Süre sonunda spektrofotometrede 412 nm de köre karşı okundu(77).

Formaldehit (HCHO) kullanılarak standard eğri çizildi. Standard eğri yardımıyla formaldehit miktarları tayin edildi. Sonuçlar nmol formaldehit /mg mikrozomal protein/dakika olarak verildi.

3.9.3. Asetaldehit tayini

Asetaldehit tayininde de kolorimetrik yöntem kullanıldı. Deney sonucunda elde edilen dökeltiden 350 μl alınıp % 12 CuSO₄ 5H₂O den 1 damla damlatıldı. Üzerine 3 ml soğuk derişik H₂SO₄ buz banyosu içinde ilave edildi. 10 dakika sonra tüpler karıştırıldı. 60 μl p-hidroksibifenil (% 1, % 2 lik NaOH içinde) den tüpün çeperlerine bulaştırmadan sıvı yüzeyine ilave edildi ve karıştırdı. İki dakika kaynayan su banyosunda bekletildi. Daha sonra soğutulup oluşan mavi renk spektrofotometrede 545 nm dalga boyunda köre karşı okundu(78).

Asetaldehit (CH₃CHO) kullanılarak standard eğri çizildi. Standard eğri yardımıyla asetaldehit miktarları tayin edildi. Sonuçlar nmol asetaldehit/mg mikrozomal protein/dakika olarak verildi.

3.9.4. Formaldehit varlığında asetaldehit tayini

Asetaldehit tayini yapılan ortamda formaldehit varsa, formaldehit, asetaldehitle girişim yapar. Bu sebepten dolayı yukarıda anlatılan asetaldehit tayin yönteminden önce ortamdaki formaldehit girişi vermeyecek bir ara ürüne çevirmek gereklidir. Deney sonucunda elde edilen dökeltiden 200 μl alınıp üzerine 150 μl Nash reaktifi (30.8 gr Amonyum asetat, 5ml derişik H₂SO₄ ve 0.4 Asetilaseton 100 μl de) ilave edildi. Deneyin kararlı olabilmesi için oda sıcaklığında bekletildikten sonra normal asetaldehit tayin yöntemi uygulandı.(78)

Asetaldehit (CH₃CHO) kullanılarak standard eğri çizildi. Standard çözeltilerde 1mg/ml Semikarbazit HCl olacak şekilde hazırlandı. Standard eğri yardımıyla asetaldehit miktarları tayin edildi. Sonuçlar nmol asetaldehit /mg mikrozomal protein/dakika olarak verildi.

4.0. BULGULAR

4.1.0. Kimyasal diyabet oluşumu

Streptozotosin enjekte edilen ratların açlık kan glukoz düzeylerinin kontrol grubu kan glukoz düzeylerine kıyasla 2,5-4 kat yükseldiği görüldü. Kan glukoz düzeyi kontrolde ortalama 90 mg/dl olarak ölçüldü. Diyabetik ratlarda enjeksiyon öncesi ve sonrası vücut ağırlıklarındaki artışın kontrollerdekinden az olduğu görüldü (Tablo I).

Tablo 1 : Streptozotosin enjekte edilen ratlarda fizyolojik parametreler†

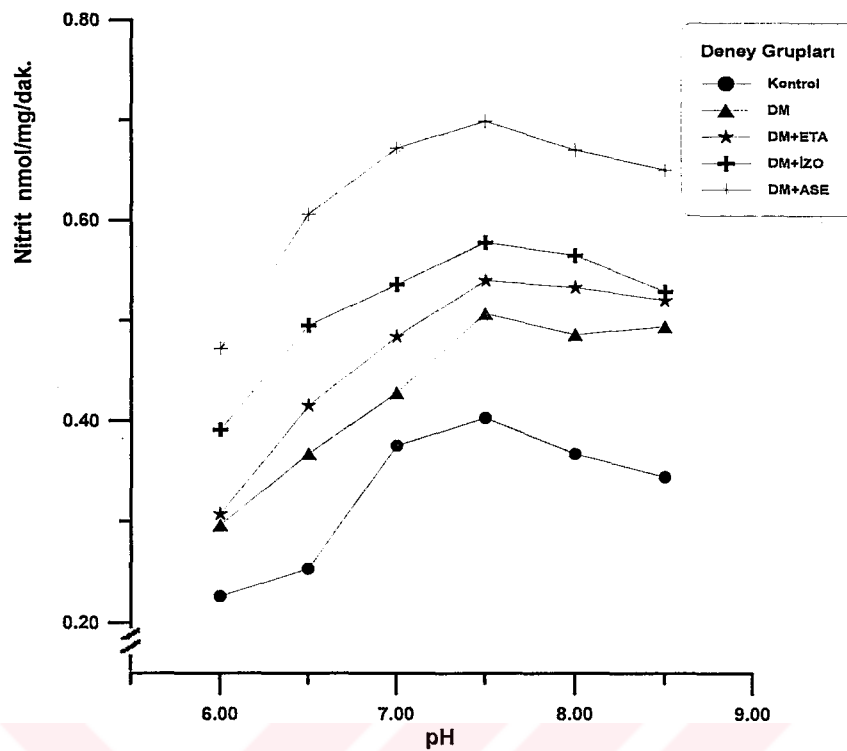
Enjeksiyon	Rat sayısı	Vücut Ağırlığı Başlangıç Son	Karaciğer Ağırlığı (gr)	Kan Glukozu mg/dl
<i>Kontrol</i>	6	208±11	230±10	7,45±0,35
<i>I. Streptozotosin (Stz)</i>	6	220±22	235±24	7,15±0,65
<i>II. Stz. + Aseton</i>	5*	264±03	275±05	7,85±0,45
<i>III. Stz + İsopropanol</i>	6	183±09	197±13	7,10±0,15
<i>IV. Stz + Etanol</i>	6	150±03	162±03	5,75±0,85
				334±41

* Rat'ın bir tanesi kontrolümüz dışında ölmüştür

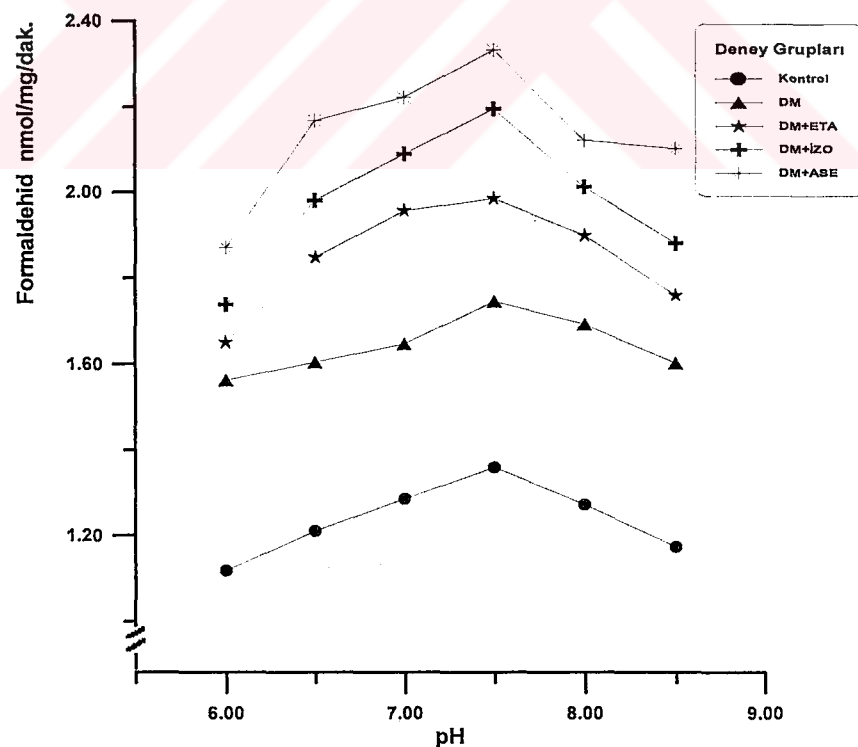
† Bütün değerler ±SD olarak verilmiştir.

4.2.0. Optimum pH belirlenmesi

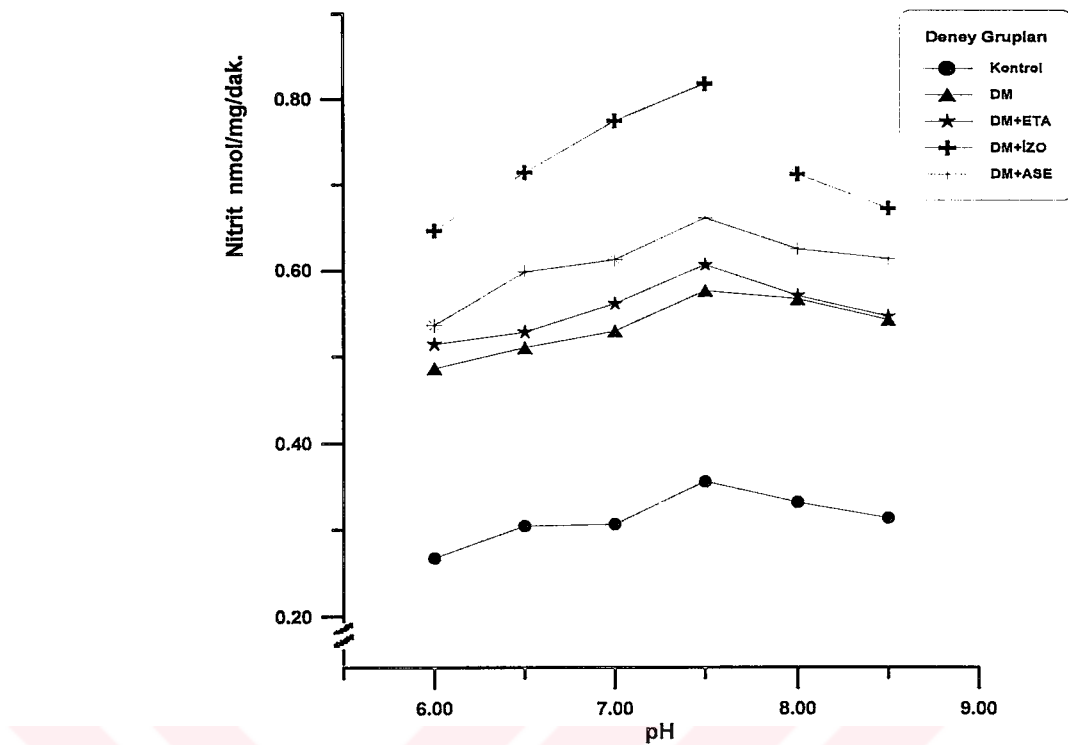
NDMA ve NDEA'in metabolize edilmesinde optimum pH'nın belirlenmesi için 6 farklı pH daki tampon çözeltiler (6.0, 6.5, 7.0, 7.5, 8.0, 8.5) kullanıldı. Her iki Nitrozaminin 40 mM derişimdeki çözeltileri kullanılarak NDMA'de nitrit, formaldehit ve NDEA'de nitrit ile asetaldehit tayin edildi. Her iki nitrozaminin optimum pH sı 7.5 olarak bulundu ve grafiklendi (Şekil: 3,4,5,6).



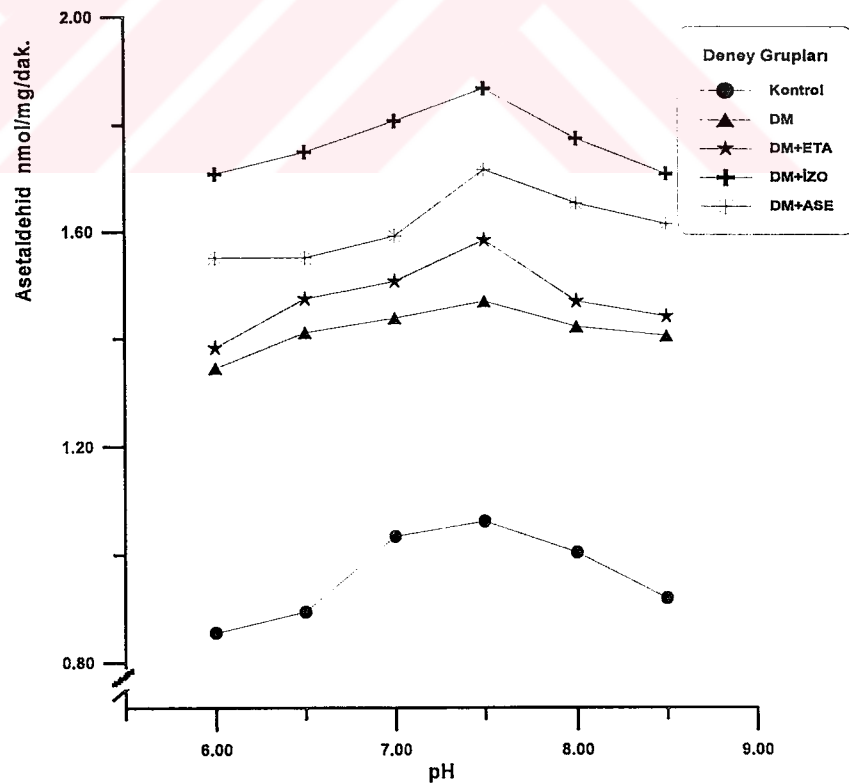
Şekil 3 : NDMA'in denitrozasyonunun optimum pH grafiği



Şekil 4 : NDMA'in demetilasyonunun optimum pH grafiği



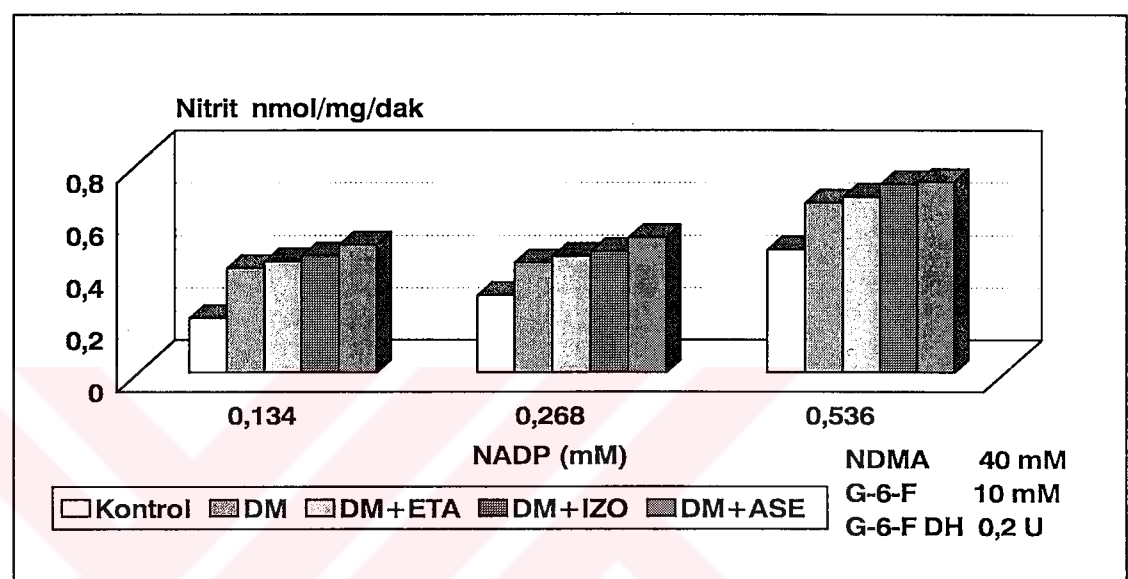
Şekil 5 : NDEA'in denitrozasyonunun optimum pH grafiği



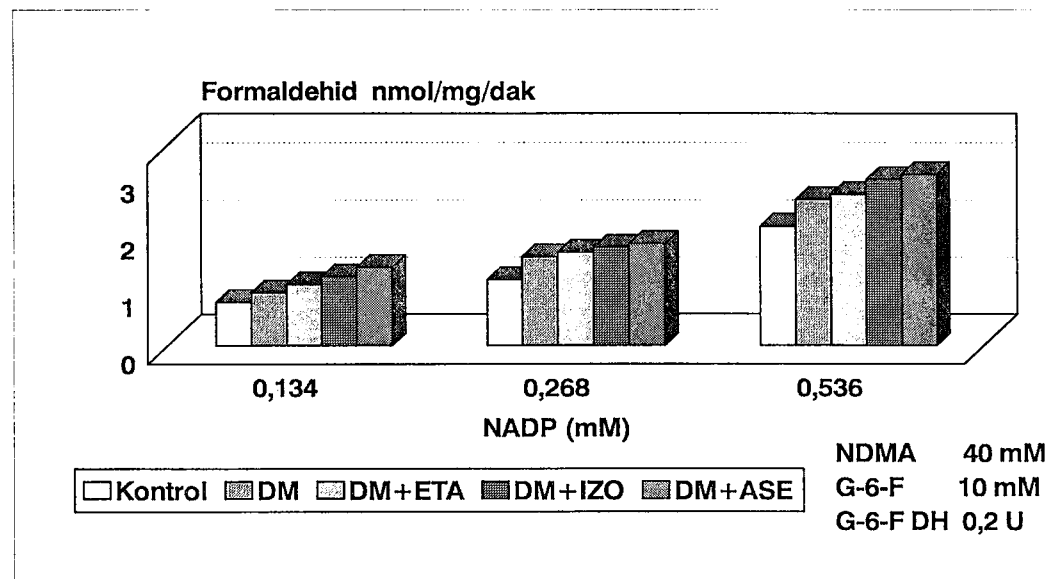
Şekil 6 : NDEA'in dealkilasyonunun optimum pH grafiği

4.3.0. N-Nitrozodimetilamin ve N-Nitrozodietilamin metabolizmasına NADPH-yenileyen sistemin etkisi

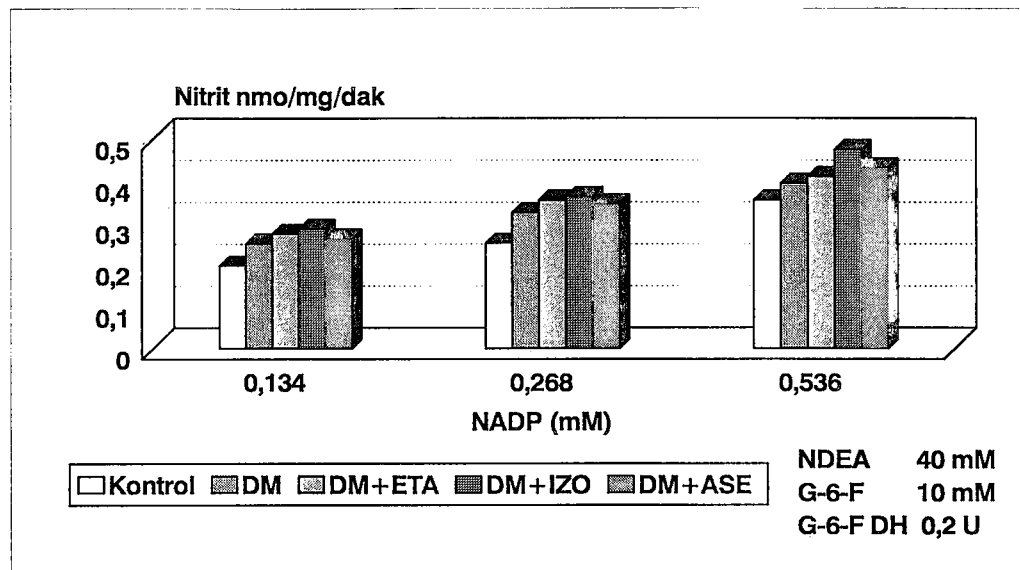
NADP derişimindeki değişikliklerin NO₂, formaldehit ve asetaldehitte oluşumlarında ortaya çıkan değişimler şekil 7,8,9 ve 10 da gösterildi.



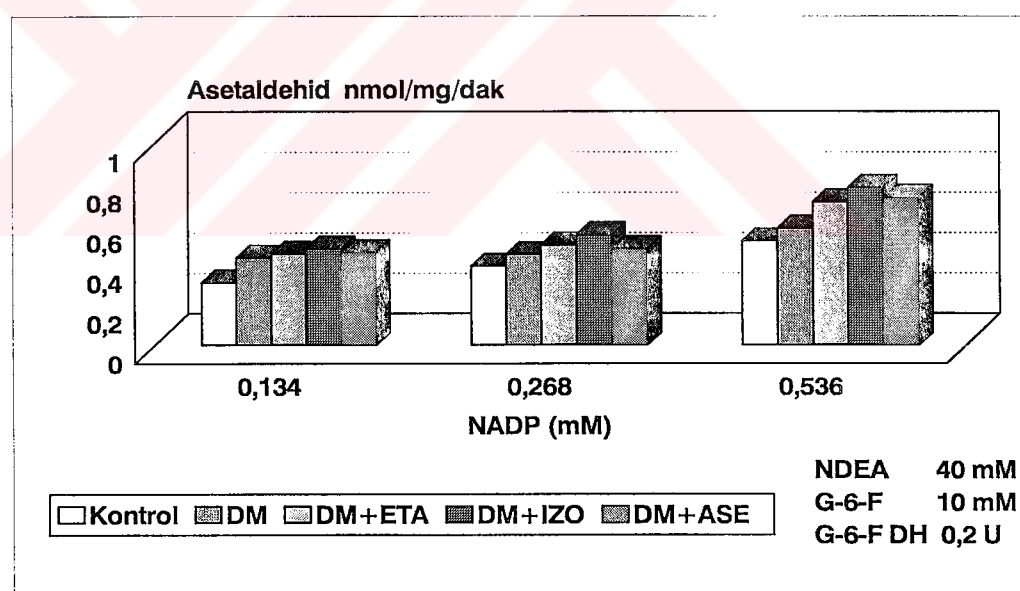
Şekil 7 : NDMA'in denitrozasyonuna NADP'in etkisi



Şekil 8 : NDMA'in demetilasyonuna NADP'in etkisi



Şekil 9 : NDEA'in denitrozasyonuna NADP'in etkisi

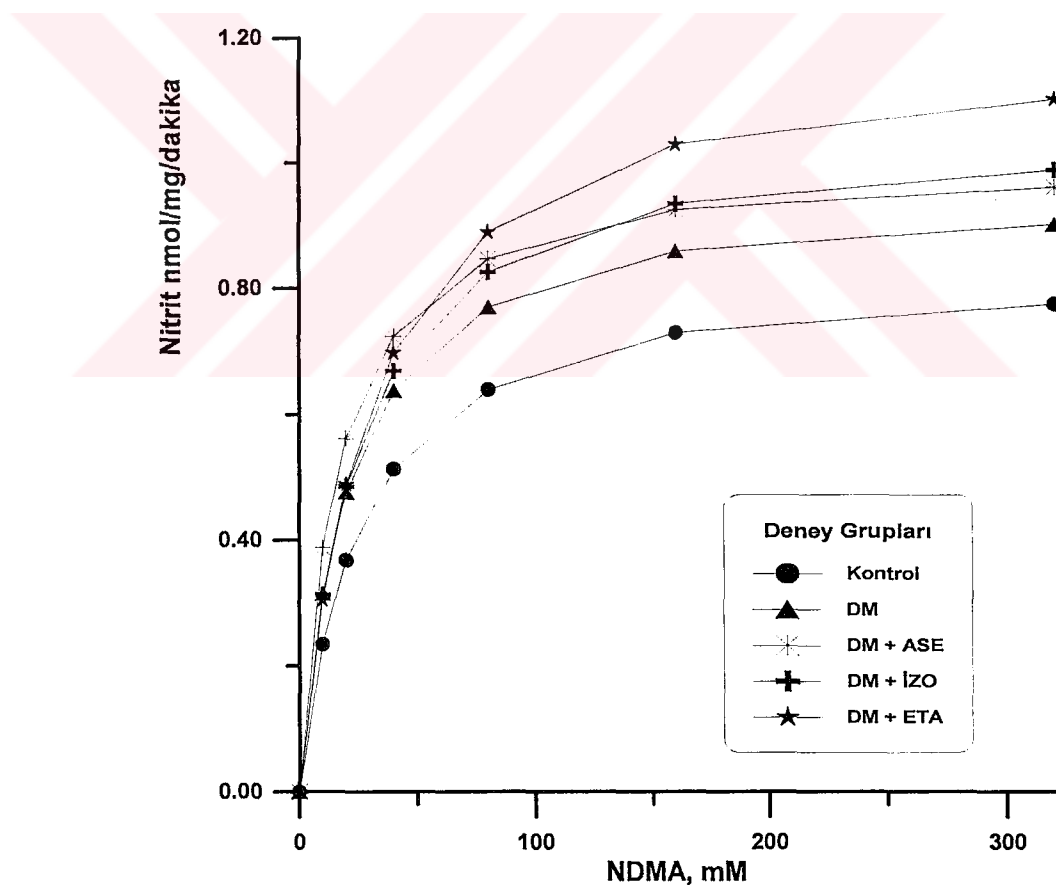


Şekil 10 : NDMA'in dealkilasyonuna NADP'in etkisi

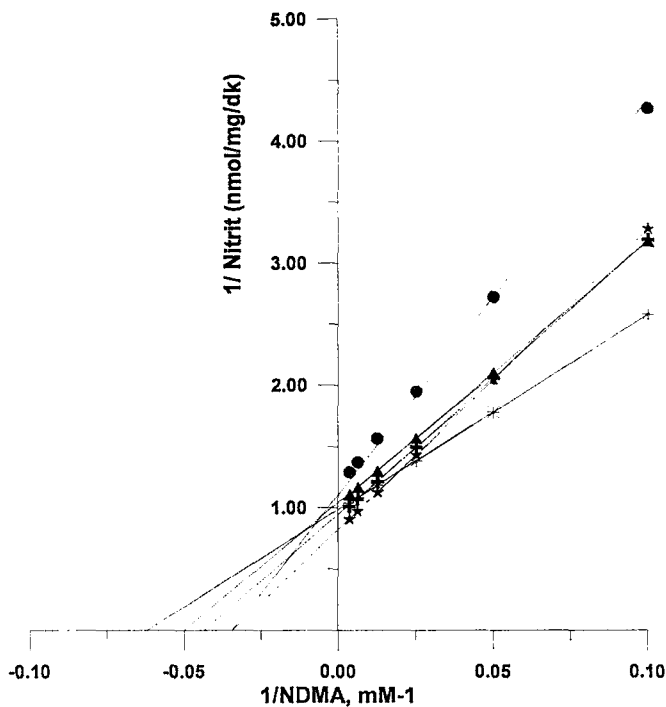
4.4.0. Km ve Vmax değerlerinin saptanması :

4.4.1. N-Nitrozodimetilamin'in denitrozasyon ve demetilasyon tepkimelerinin Km ve Vmax değerinin saptanması

pH 7.5 tamponunda hazırlanan 6 farklı NDMA (10, 20, 40, 80, 160, 320 mM) derişiminde çalışılarak Michaelis-Menten ve Lineweaver-Burk grafikleri çizildi. Bu grafikler yardımıyla Km ve Vmax değerleri belirlendi. Grafiklerin çiziminde en küçük kareler metodu uygulandı. (Şekil 11,12,13,14)



Şekil 11 : NDMA'in denitrozasyonunun Michaelis-Menten grafiği

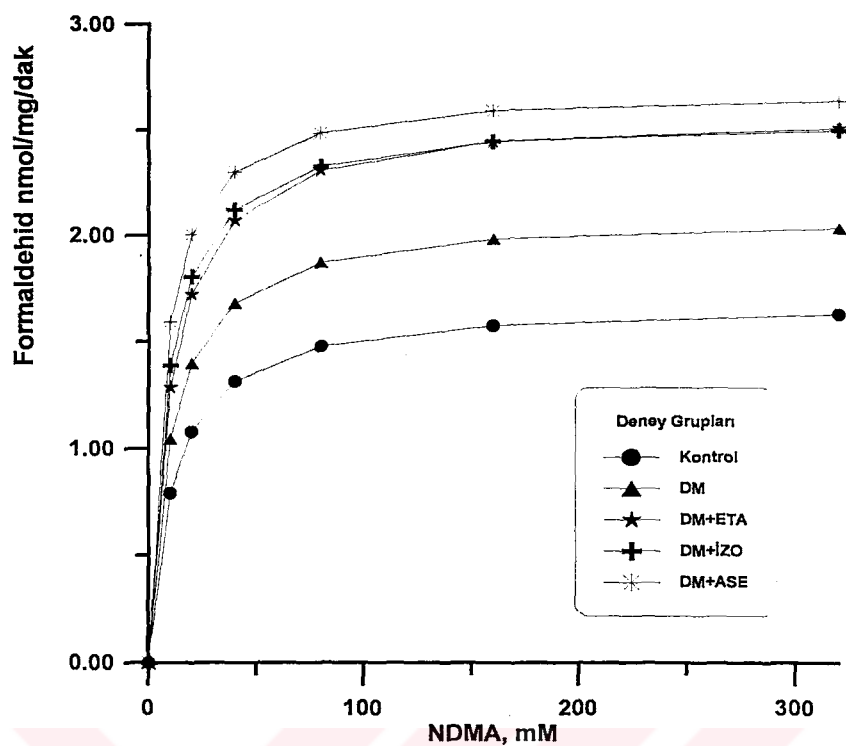


Şekil 12 : NDMA'in denitrozasyonunun Lineweaver-Burk grafiği

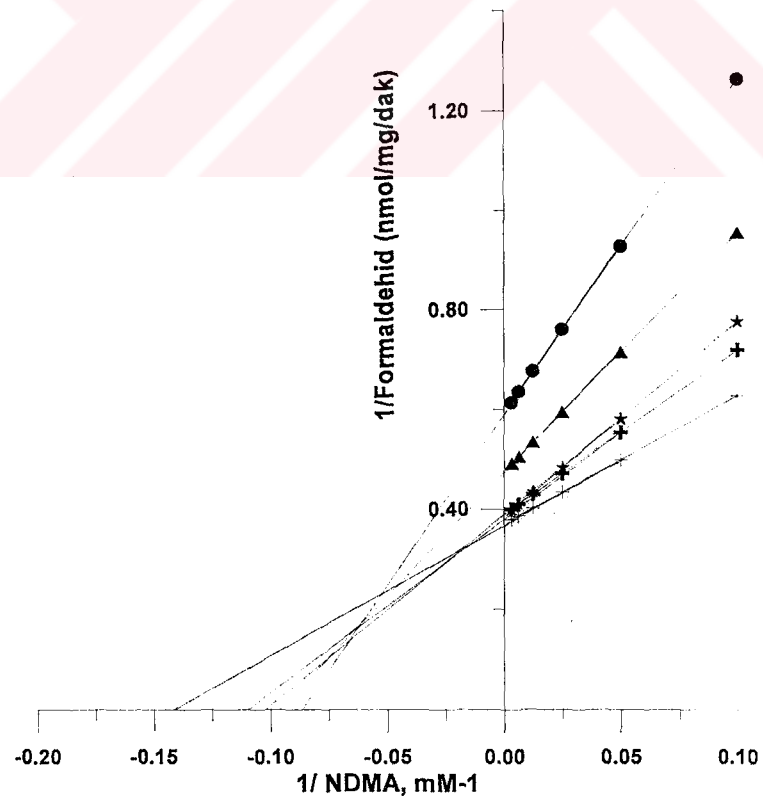
Tablo 2 : Nitrozodimetilaminin denitrozasyonunun Km ve Vmax değerleri.

Deney grubu	V _{max} (Nitrit nmol/mg/dakika)	Km (mM)
Kontrol	0.764	28.96
Diyabet	0.972	20.88
Diyabet + Etanol	1.224	28.11
Diyabet + İzopropanol	1.077	23.69
Diyabet + Aseton	1.019	16.28

NDMA'in denitrozasyon tepkimesinde kontrol grubunun Vmax : 0.764 nitrit nmol/mg mikrozomal protein/ dakika Km : 28.96 mM olarak bulundu. Diyabet grubunun Vmax ve Km değeri kontrol grubuna göre sırasıyla Vmax'in % 27 arttığı Km'in % 28 azlığı gözlandı. Diyabet sonrası indukleyici verilen ratlarda ise Vmax ve Km değerleri şöyle idi. Etanol uygulanan grupda Vmax % 60 artış, Km de ise % 1 azalış görüldü, İzopropil alkol uygulanan grupta Vmax % 41 artış Km de ise % 18 azalma gözlandı ayrıca Aseton uygulanan grupta Vmax % 33 artmış Km de ise % 43 azalmış olarak bulundu (tablo2).



Şekil 13 : NDMA'in demetilasyonunun Michaelis-Menten grafiği



Şekil 14 : NDMA'in demetilasyonunun Lineweaver-Burk grafiği

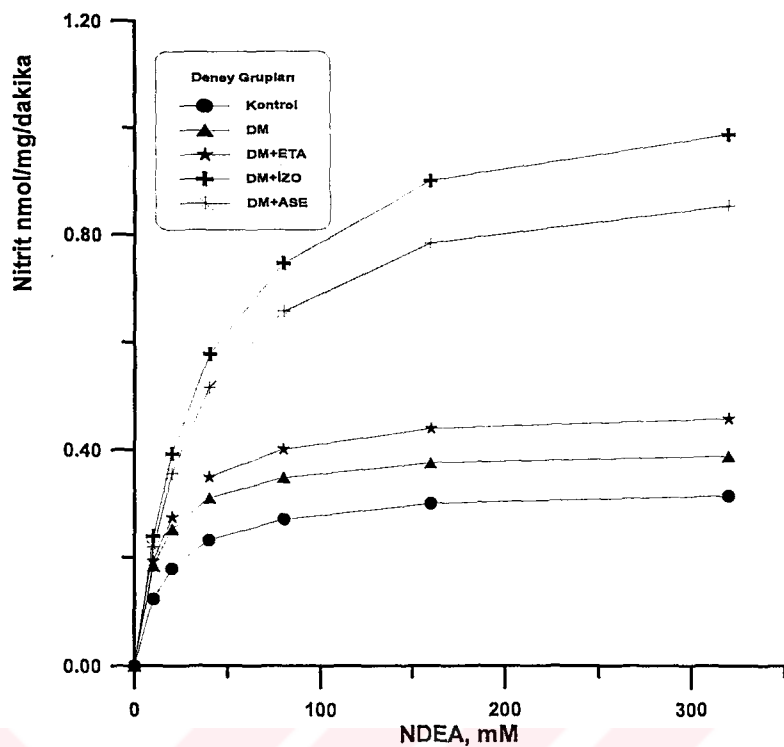
Tablo 3 : Nitrozodimetilaminin demetilasyonunun Km ve Vmax değerleri.

Deney grubu	Vmax (Formaldehit nmol/mg/dakika)	Km (mM)
Kontrol	1.688	11.34
Diyabet	2.107	10.15
Diyabet + Etanol	2.590	9.77
Diyabet + İzopropanol	2.578	8.51
Diyabet + Aseton	2.700	6.93

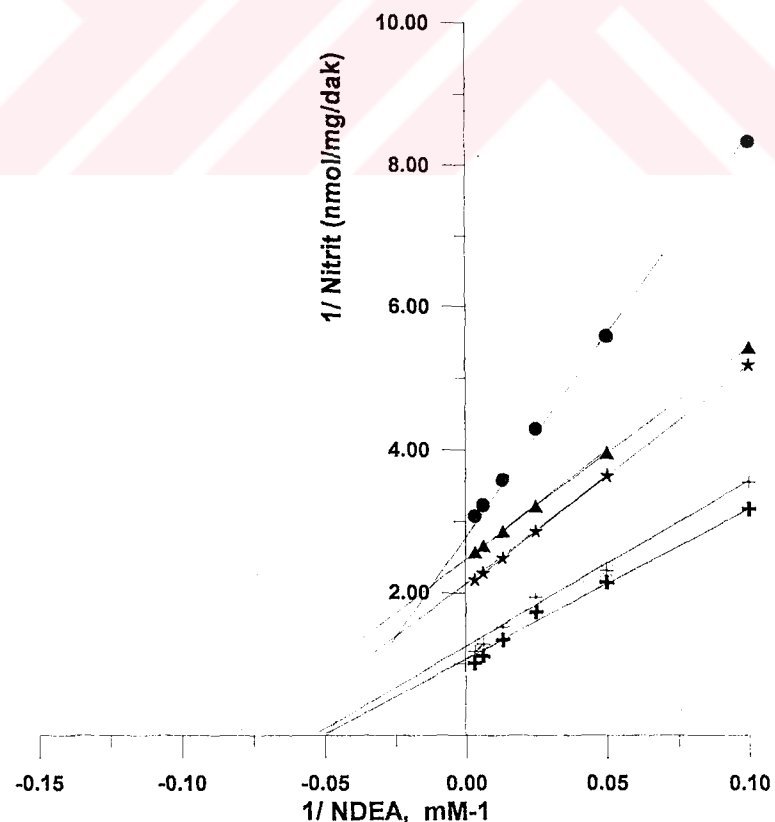
NDMA'in demetilasyon tepkimesinde kontrol grubunun Vmax : 1.688 formaldehit nmol/mg mikrozomal protein/ dakika Km : 11.34 mM olarak bulundu. Diyabet grubunun Vmax ve Km değeri kontrol grubuna göre sırasıyla Vmax'in % 25 arttığı Km'in % 11 azlığı gözlandı. Diyabet sonrası indukleyici verilen ratlarda ise Vmax ve Km değerleri şöyle idi. Etanol uygulanan grupda % 49 artış Km de ise % 14 azalış görüldü, İzopropil alkol uygulanan grupta Vmax % 53 artış Km de ise % 25 azalma gözlandı ayrıca Aseton uygulanan grupta Vmax % 60 artmış Km de ise % 39 azalmış olarak bulundu (tablo 3).

4.4.2. N-Nitrozodietilamin'in denitrozasyon ve dealkilasyon tepkimelerinin Km ve Vmax değerinin saptanması :

pH 7.5 tamponunda hazırlanan 6 farklı NDEA (10, 20, 40, 80, 160, 320 mM) derişiminde çalışılarak Michaelis-Menten ve Lineweaver-Burk grafikleri çizildi. Bu grafikler yardımıyla Km ve Vmax değerleri belirlendi. Grafiklerin çiziminde en küçük kareler metodu uygulandı (Şekil 15,16,17,18).



Şekil 15 : NDEA'in denitrozasyonunun Michaelis-Menten grafiği



Şekil 16 : NDEA'in denitrozasyonunun Lineweaver-Burk grafiği

Tablo 4 : Nitrozodietilaminin denitrozasyonunun Km ve Vmax değerleri.

Deney grubu	Vmax (Nitrit nmol/mg/dakika)	Km (mM)
Kontrol	0.333	20.35
Diyabet	0.403	11.85
Diyabet + Etanol	0.479	14.79
Diyabet + İzopropanol	0.788	18.73
Diyabet + Aseton	0.917	18.53

NDEA'in denitrozasyon tepkimesinde kontrol grubunun Vmax : 0.333

formaldehit nmol/mg mikrozomal protein/ dakika, Km : 20.35 mM olarak bulundu.

Diyabet grubunun Vmax ve Km değeri kontrol grubuna göre sırasıyla Vmax'in % 21

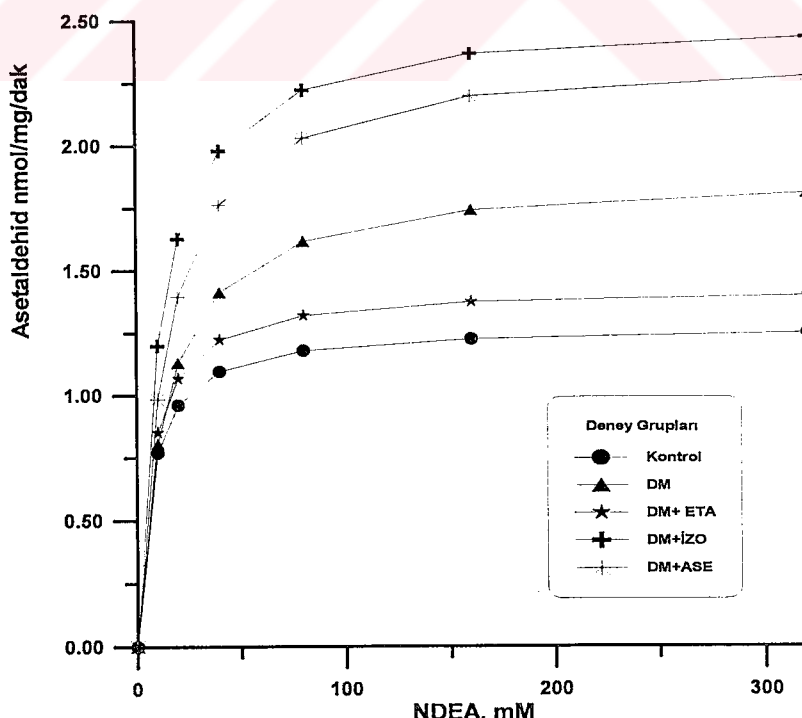
arttığı Km'in % 42 azaldığı gözlendi. Diyabet sonrası indükleyici verilen ratlarda ise

Vmax ve Km değerleri şöyle idi. Etanol uygulanan grupda % 44 artış Km de ise % 27

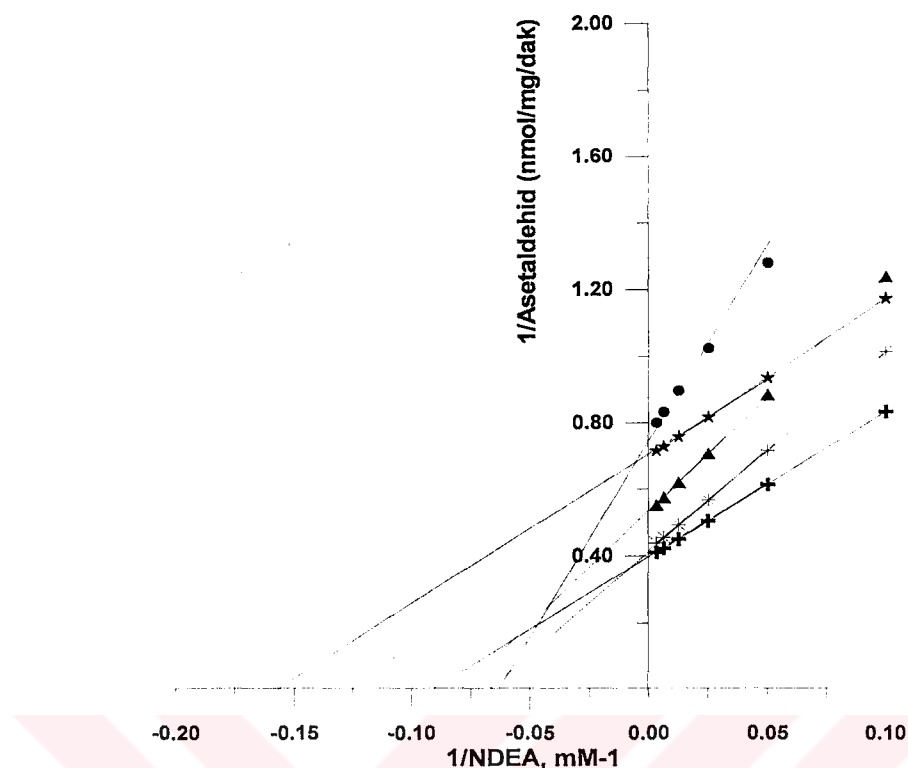
azalış görüldü, İzopropil alkol uygulanan grupta Vmax % 136 artış Km de ise % 7.9

azalma gözlendi ayrıca Aseton uygulanan grupta Vmax % 175 artmış Km de ise %

8.9 azalmış olarak bulundu (tablo 4).



Şekil 17 : NDEA'in dealkilasyonunun Michaelis-Menten grafiği



Şekil 18 : NDEA'in dealkilasyonunun Lineweaver-Burk grafigi

Tablo 5 : Nitrozodietilaminin deetilasyonunun Km ve Vmax değerleri.

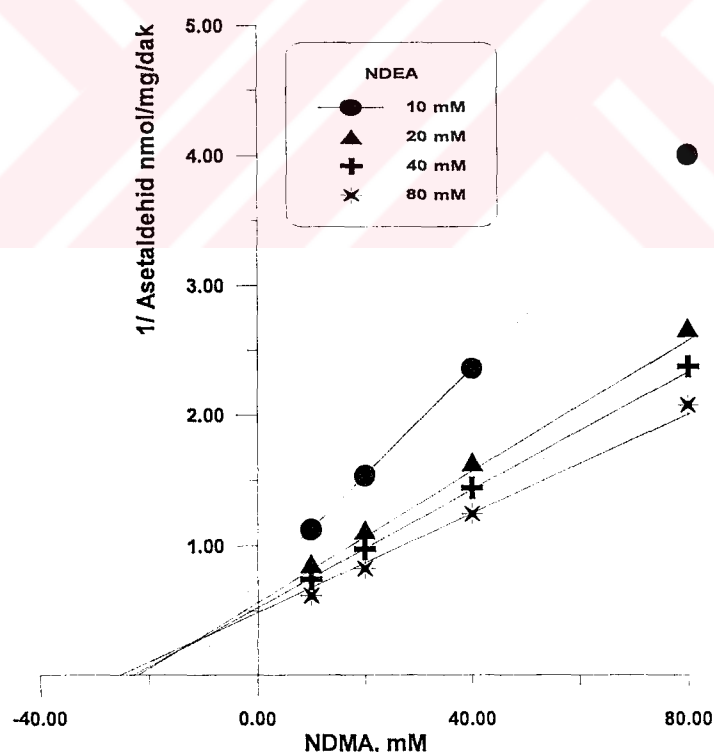
Deney grubu	Vmax (Asetaldehit nmol/mg/dakika)	Km (mM)
Kontrol	1.302	15.37
Diyabet	1.887	13.40
Diyabet + Etanol	1.429	6.79
Diyabet + İzopropanol	2.529	11.07
Diyabet + Aseton	2.390	14.26

NDEA'in deetilasyon tepkimesinde kontrol grubunun Vmax : 1.302 asetaldehit nmol/mg mikrozomal protein/ dakika, Km : 15.37 mM olarak bulundu. Diyabet grubunun Vmax ve Km değeri kontrol grubuna göre sırasıyla Vmax % 45 arttığı Km de % 13 azlığı görüldü. Diyabet sonrası indükleyici verilen ratlarda ise Vmax ve Km değerleri şöyle idi. Etanol uygulanan grupda % 9.7 artmış Km de ise % 55 azalış görüldü, İzopropil alkol uygulanan grupta Vmax % 94 artmış Km de ise % 28 azalma görüldü ayrıca Aseton uygulanan grupta Vmax % 83 artmış Km de ise % 7.2 azalmış olarak bulundu(tablo 5).

4.5.0. İnhibisyon Çalışmaları

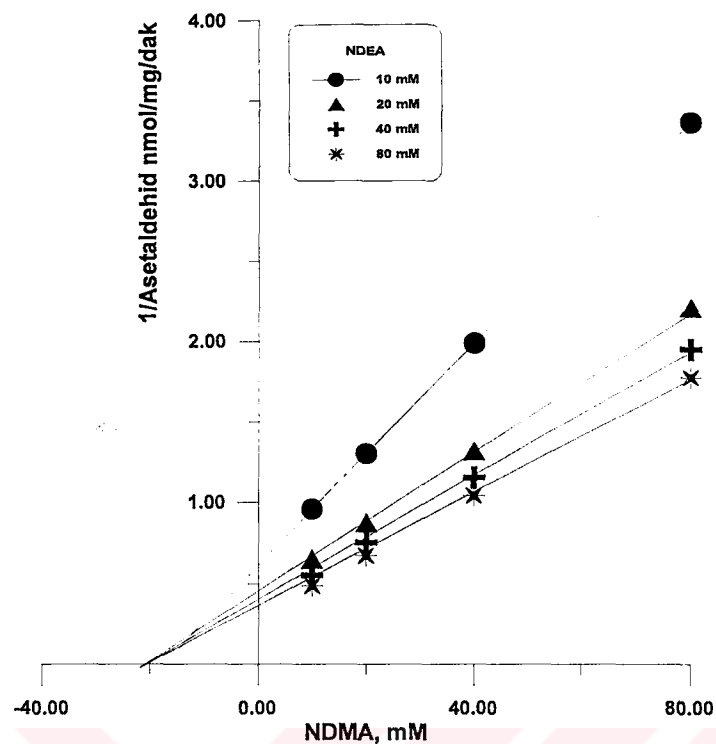
4.5.1. N-Nitrozodietilamin'in dealkilasyonuna N-Nitrozodimetilamin' in etkisi

NDEA'in dealkilasyonuna NDMA'in etkisini incelemek için 4 farklı derişimde (10, 20, 40, 80 mM) NDEA'nın hazırlandı. Herbir NDEA'in bulunduğu ortama farklı derişimde (10, 20, 40, 80 mM) NDMA'nın ilave edilerek asetaldehit tayini yapıldı ve İnhibitore (NDMA) karşı $1/V_0$ (1/asetaldehit nmol/mg/dakika) grafiğe alınarak Dixon grafiği çizildi (Şekil 19, 20, 21, 22, 23). Eğrilerin kesiştiği noktalardan Ki değerleri bulundu ve bu değerler Tablo 6 da verildi. Kontrol ve diğer 4 deney grubu için deneyler tekrarlandı.



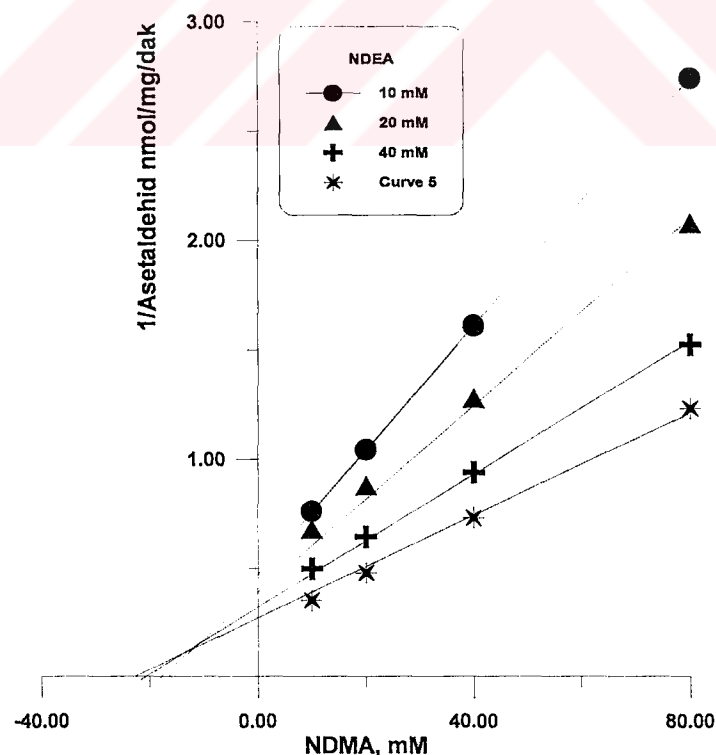
Şekil 19 : NDEA'in dealkilasyonuna NDMA'in etkisinin Dixon grafiği.

Kontrol grubu



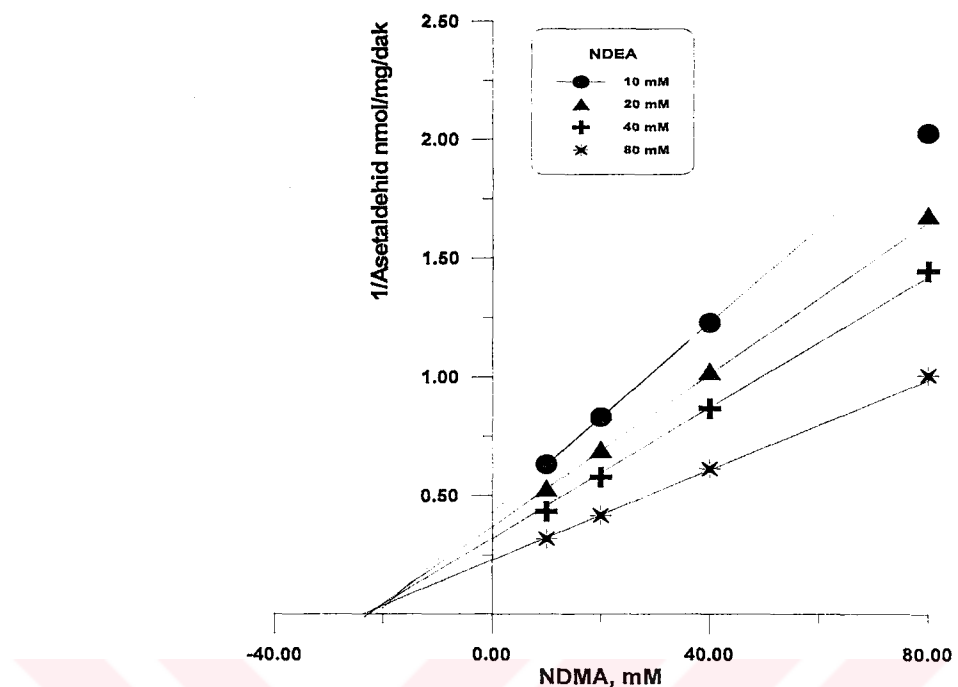
Şekil 20 : NDEA'in dealkilasyonuna NDMA'in etkisinin Dixon grafiği.

Diyabet grubu



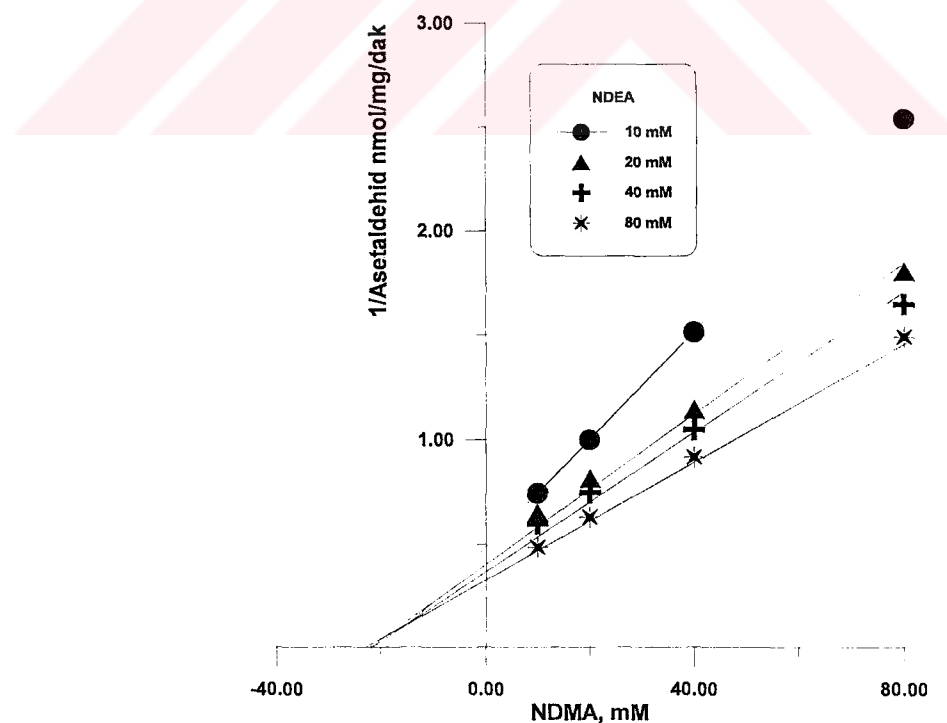
Şekil 21 : NDEA'in dealkilasyonuna NDMA'in etkisinin Dixin grafiği.

Diyabet+Etanol grubu.



Şekil 22 : NDEA'in dealkilasyonuna NDMA'in etkisinin Dixon grafiği.

Diyabet+İzopropanol grubu



Şekil 23 : NDEA'in dealkilasyonuna NDMA'in etkisinin Dixon grafiği.

Diyabet+Aseton grubu

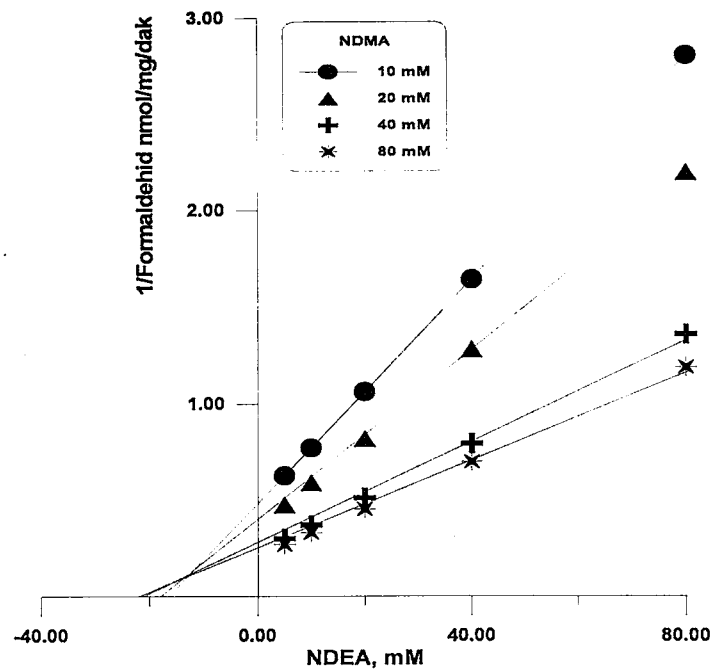
Tablo 6 : Nitrozodietilaminin dealkilasyonuna Nitrozodimetiaminin inhibisyonunun Ki değerleri.

Deney grubu	Ki (mM)
Kontrol	10
Diyabet	14
Diyabet + Etanol	13
Diyabet + İzopropanol	17
Diyabet + Aseton	16

NDEA nin dealkilasyonuna NDMA nin etkisini araştırmak için yapılan çalışmada, NDEA nin dealkilasyonunun NDMA tarafından kompetetif olarak inhibe edildiği gözlenmiştir. Kontrol grubuna göre Ki değerlerinde artış olmaktadır. Diyabet sonrası etanol verilen grubun Ki değerinde diyabetik gruba göre azalma olduğu saptanmıştır.

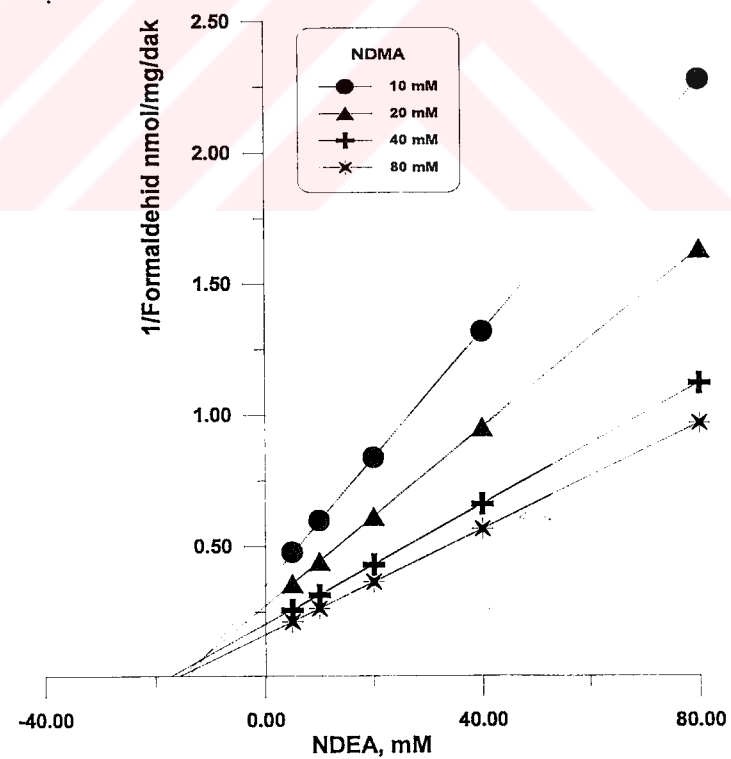
4.5.2. N-Nitrozodimetilamin'in dealkilasyonuna N-Nitrozodetilamin' in etkisi

NDMA'in dealkilasyonuna NDEA'in etkisini incelemek için 4 farklı derişimde (10, 20, 40, 80 mM) NDMA hazırlandı. Herbir NDMA'in bulunduğu ortama farklı derişimde (5, 10, 20, 40, 80 mM) NDEA ilave edilerek formaldehit tayini yapıldı. İnhibitöre (NDEA) karşı 1/Vo (1/formaldehit nmol/mg/dakika) grafiğe alınarak Dixon grafiği çizildi (Şekil 24, 25, 26, 27, 28). Eğrilerin kesiştiği noktalardan Ki değerleri bulundu ve bu değerler Tablo 7 de gösterildi. Kontrol ve diğer 4 deney grubu için deneyler tekrarlandı.



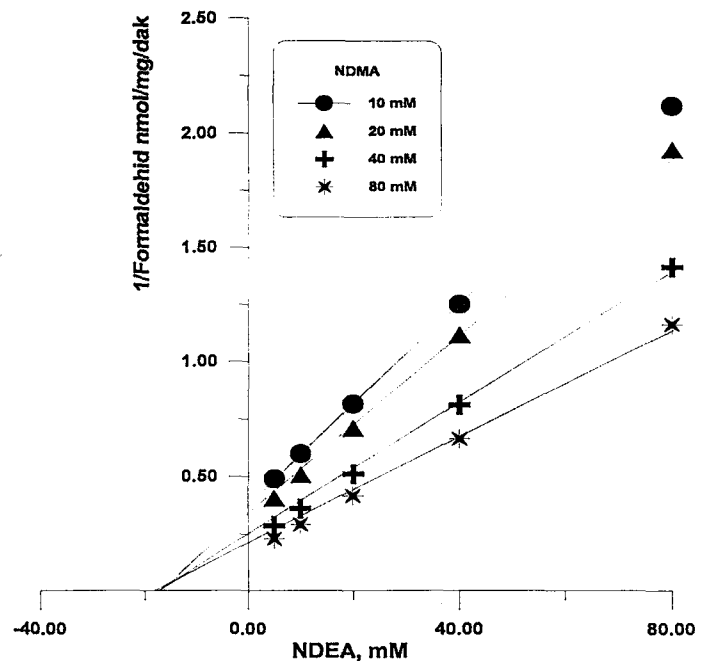
Şekil 24 : NDMA'in demetilasyonuna NDEA'in etkisinin Dixon grafiği.

Kontrol Grubu



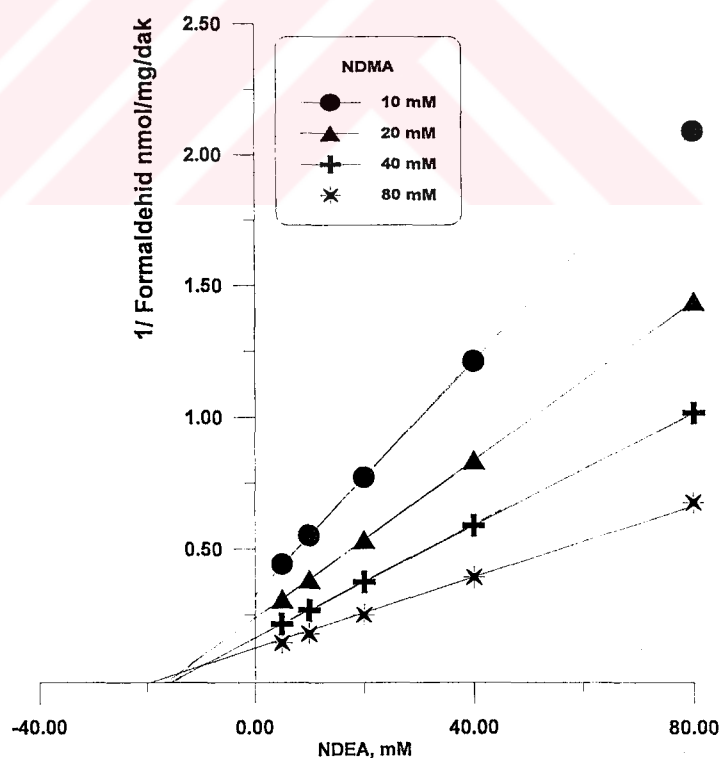
Şekil 25 : NDMA'in demetilasyonuna NDEA'in etkisinin Dixon grafiği.

Diyabet grubu.



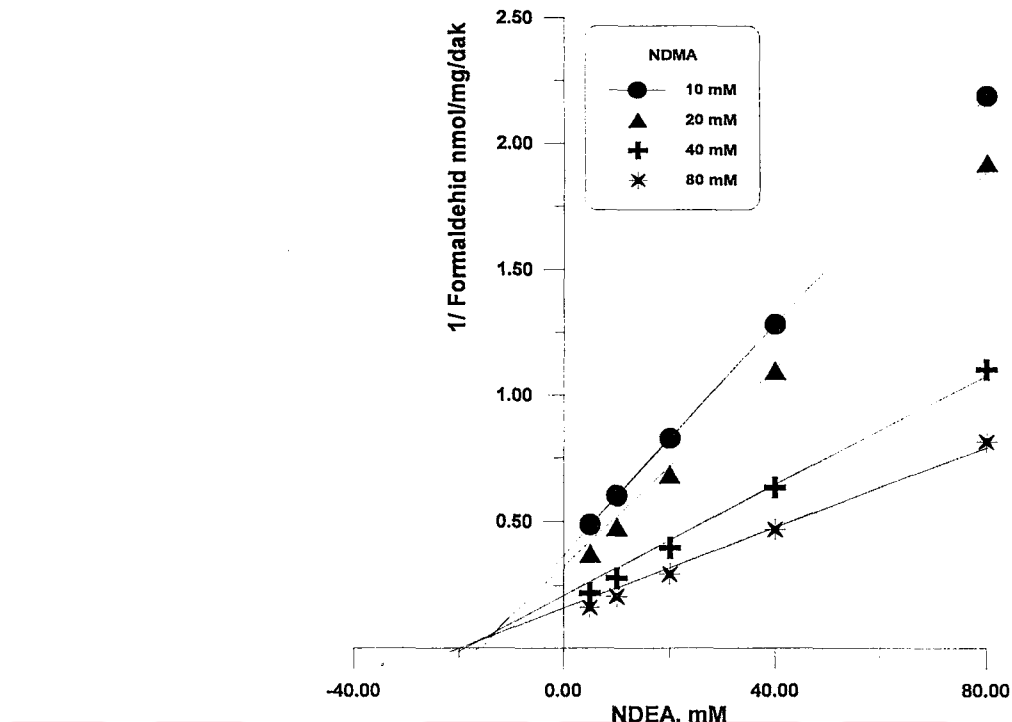
Şekil 26 : NDMA'in demetilasyonuna NDEA'in etkisinin Dixon grafiği.

Diyabet+Etanol grubu.



Şekil 27 : NDMA'in demetilasyonuna NDEA'in etkisinin Dixon grafiği.

Diyabet+İzopropanol grubu.



Şekil 28 : NDMA'in Demetilasyonuna NDEA'in Etkisinin Dixon grafiği.

Diyabet + Aseton Grubu.

Tablo 7 : Nitrozodimetilaminin dealkilasyonuna Nitrozodietilaminin inhibisyonunun Ki değerleri

Deney grubu	Ki (mM)
Kontrol	13
Diyabet	12
Diyabet + Etanol	14
Diyabet + İzopropanol	12.5
Diyabet + Aseton	12

NDMA nin dealkilasyonuna NDEA nin etkisini araştırmak için yapılan çalışmada NDMA nin dealkilasyonunu NDEA nin kompetitif olarak inhibe ettiği gözlenmiştir. Kontrol grubuna göre Ki değerlerinde çok az azalış olduğu bulundu. Diyabet sonrası etanol verilen grupta ise artış görüldü.

5. TARTIŞMA VE SONUÇ

Çevre kirlletici ve karsinojenik olarak bilinen NDMA ve NDEA metabolizması üzerine yapılan çalışmalarla nitrozaminlerin endoplazmik retikulumda NADPH bağımlı ve sitokrom P450 nin bir çok özelliğini taşıyan bir reaksiyonla metabolize olduğu gösterilmiştir. NDMA ’in metabolizmasını katalizleyen sitokrom P450’nin bir çok izoenzimleri tavşan ve rat karaciğerinden saflaştırılmıştır. Bu izoenzimlerden sitokrom P450 IIE1’in NDMA ’in denitrozasyonun ve demetilasyonunda diğer izoenzimlerden çok daha aktif olduğu gösterilmiştir. Ayrıca sitokrom P450 IIE1 miktarının türe ve yaşa göre farklılıklar gösterdiği bildirilmiştir.

Son günlerde sitokrom P450 IIE1 in aktif merkezine nitrozaminlerin bağlanma affinitesi üzerine yapılan çalışmalar göstermiştir ki ; sitokrom P450IIE1 özellikle metil yada etil grubu içeren düşük molekül ağırlıklı nitrozaminlerin aktivasyonunda anahtar enzim olarak rol oynamaktadır. NDMA e benzerliğinden dolayı Nitrozoetilmektilamin (NEMA) ve NDEA de sitokrom P450 IIE1 tarafından metabolize edildiği bildirilmiştir. Ayrıca Nitrozobütilmetilmektilamin gibi uzun zircirli nitrozaminlerin demetilasyonunu sitokrom P450 IIE1 ile katalizlenirken, debütasyonu fenobarbital ile indüklenen sitokrom P450 IIB1 tarafından çok daha etkili olarak katalizlendiği gösterilmiştir(9,10,11,79).

Bu çalışmada, kimyasal olarak diyabet oluşturululan ve diyabet oluşturulduktan sonra etanol, aseton ve izopropil alkol verilen ratların karaciğer mikrozomal sisteminde NDMA ve NDEA ’in denitrozasyon ve dealkilasyon tepkimeleri incelenmiştir. Her iki nitrozaminin de denitrozasyon tepkimesi sonucu oluşan nitrit miktarı tayin edilip nmol/mg mikrozomal protein/dakika olarak verilmiştir.

Dealkilasyon tepkimelerinde ise, NDMA'in demetilasyonunda oluşan formaldehit ve NDEA'in deetilasyonunda oluşan asetaldehit miktarları tayin edilip nmol/mg mikrozomal protein/ dakika olarak verilmiştir.

NDMA ve NDEA'in karaciğer mikrozomal sistem tarafından denitrozasyon ve dealkilasyonuna pH nin etkisi araştırılmıştır. Her iki tepkimenin pH : 7.5 da maksimum hızla gerçekleştiği gözlenmiştir. İlerleyen çalışmalarında bu pH değerinde çalışılmıştır.

NADPH-yenileyen sistemin, NDMA ve NDEA karaciğer mikrozomal sistemi tarafından denitrozasyon ve dealkilasyonununa etkisinin araştırılması amacıyla 3 farklı (0.134, 0.286, 0.536 mM) derişimde NADP içeren NADPH-yenileyen sistem hazırlanmıştır. NADP derişiminin artmasının tepkime hızını artttığı gözlenmiştir. Deneylerimizin kinetik ve inhibisyon çalışmalarında 0.400 mM NADP, 10 mM Glukoz-6-fosfat, 0.2U Glukoz-6-fosfat Dehidrogenaz içeren NADPH-yenileyen sistem çalışılmıştır.

Her iki nitrozaminin 6 farklı derişimde denitrozasyon ve dealkilasyon tepkimeleri mikrozomal sistemin bulunduğu ortamda gerçekleştirilmiş, oluşan nitrit, formaldehit ve asetaldehit miktarları tayin edilmiştir. Michaelis-Menten ve Lineweaver-Burk grafikleri yardımıyla denitrozasyon ve dealkilasyonlarının Km ve Vmax değerleri hesaplanmıştır.

NDMA nin denitrozasyon tepkimesinde, kontrol grubuna (Km: 28.96 mM, Vmax: 0.764 nmol/mg/dak.) kiyasla diyabet oluşturulan grupda (Km: 20.88 mM, Vmax: 0.972 nmol/mg/dak.) enzimin indüklendiği tespit edildi. Diyabet sonrası indükleyici verilen deney gruplarında da Vmax lardaki artış en fazla etanol (Vmax: 1.224 nmol/mg/dak.) daha sonra izopropil alkol (Vmax: 1.077 nmol/mg/dak.) ve

aseton (V_{max} : 1.019 nmol/mg/dak.) verilen ratlarda görüldü. K_m değerlerine bakıldığından en fazla enzim induksiyonu aseton verilen ratlarda (K_m : 16.28 mM) gözlandı. Etanol (K_m : 28.11 mM) ve izopropil alkol verilen deney gruplarında (K_m : 23.69 mM) ise induksiyonun azlığı görüldü.

NDMA nin demetilasyon tepkimesinde kontrol (K_m : 11.34 mM, V_{max} : 1.688 nmol/mg/dak.) grubuna kıyasla diyabet oluşturulan grupda (K_m : 10.15 mM, V_{max} : 2.107 nmol/mg/dak.) enzimin induklendiği tespit edildi. Diyabet sonrası indukleyici verilen deney gruplarında da en fazla induksiyonun aseton verilen grupda (K_m : 6.93 mM, V_{max} : 2.700 nmol/mg/dak.) olduğu anlaşıldı. İzopropil alkol (K_m : 8.51 mM, V_{max} : 2.578 nmol/mg/dak.) ve etanol (K_m : 9.77 mM, V_{max} : 2.590 nmol/mg/dak.) verilen guruplarda da diyabetik gruba kıyasla enzimin induklendiği görüldü.

Yang ve arkadaşları, etanol, aseton ve isopropil alkol verilmiş ratlarda ve ayrıca açlık ve streptozotosin ile induklanmış diyabetde de karaciğer mikrozomal NDMA demetilaz aktivitesinin arttığını gösterdiler. 2 yada 3 gün açlığın NDMA demetilaz aktivitesini 2-3 kat arttırdığı diyabetin ise be enzimin düzeyinin 2 kez artıldığı bildirilmiştir(80,81).

Bir başka çalışmada ise, streptozotosin ile diyabet oluşturulmuş ratların karacigerlerinden NDMA demetilaz enzimi saflaştırılmış ve molekül ağırlığı 50.000 olarak tespit edilmiştir. Kinetik çalışmalar sonucunda K_m 0.05 mM olarak bulunmuştur. Ayrıca diyabetlilerde NEMA nin metabolizmasının arttığı gözlenmiştir. Nitrozometilanilini ve Nitrozometilbenzilanilinin metabolizmasının etkilenmediği de gözlenmiştir(82).

Bu çalışmada elde ettiğimiz Km değeri litaratürlerdeki Km değerinden yüksektir. Genelde çalışmamıza benzer çalışmalarda, enzim saflaştırıldıktan sonra kinetik çalışma yapılmıştır yada bir kaç substrat derişiminde metabolit tayini yapılip kıyaslamalar verilmiştir. Çalışmamızda Km ve Vmax değerlerinden anlaşıldığı üzere diyabet ve diyabet sonrası verilen kimyasalların NDMA demetilaz enzimini indüklediği görülmüştür.

NDEA'in denitrozasyon tepkimesinde kontrol grubuna (Km: 20.35 mM, Vmax: 0.333 nmol/mg/dak.) kıyasla diyabet oluşturulan grupda (Km: 11.85 mM, Vmax: 0.403 nmol/mg/dak.) enzimin indüklendiği tespit edildi. Diyabet sonrası indükleyici verilen deney gruplarında da Vmax lardaki artış en fazla aseton (Vmax : 0.917 nmol/mg/dak.) daha sonra izopropil alkol (Vmax : 0.788 nmol/mg/dak.) ve etanol (Vmax : 0.479 nmol/mg/dak.) verilen ratlarda görüldü. Km değerlerine bakıldığından en fazla enzim induksiyonunun diyabetik ratlarda (Km:11.85 mM) olduğu. Etanol (Km:14.79 mM) ve izopropil alkol (Km:18.73 mM) verilen deney gruplarında ise induksiyonun azalduğu görüldü.

Deetilasyon tepkimesinde kontrol grubuna (Km: 15.37 mM, Vmax: 1.302 nmol/mg/dak.) kıyasla diyabet oluşturulan grupda (Km: 13.40 mM, Vmax: 1.887 nmol/mg/dak.) enzimin indüklendiği tespit edildi. Diyabet sonrası indükleyici verilen deney gruplarındada Vmax lardaki artış en fazla izopropil alkol (Vmax: 2.529) daha sonra aseton (Vmax: 2.390) ve etanol (Vmax: 1.429) verilen ratlarda görüldü. Km değerlerine bakıldığından en fazla enzim induksiyonunun etanol (Km: 6.79 mM) verilen ratlarda daha sonra izopropil alkol (Km: 11.07 mM) ve diyabette (Km: 13.40 mM) gözlandı. Aseton (Km: 14.26 mM) verilen deney gruplarında ise induksiyonun azalduğu görüldü.

Chau ve arkadaşları, içme sularına fenobarbital verilmiş Sprague-Dawley ratların karaciğer mikrozomlarında NDMA, NDEA ve NEMA'in oksidatif dealkilasyonunu NDMA'in K_m : 118 mM V_{max} : 11 nmol formaldehit /mg/dakika, NDEA'in K_m : 8.1 mM V_{max} : 4.6 nmol asetaldehit /mg/dakika ve NEMA'in K_m (formaldehit) : 48 mM V_{max} : 2.5 nmol formaldehit /mg/dakika, K_m (asetaldehit) : 75 mM V_{max} : 4.7 nmol asetaldehit /mg/dakika olarak bulmuştur(75).

Rat ve tavşan sitokrom P450 IIE1'i NDMA demetilaz yenileyen sistem ile K_m değeri 3 mM olarak bulunmuştur. Bu değer karaciğer hücresi, kesiti ve perfüze karaciğerden saflaştırılan enzimin K_m değerinden ($50-70\mu M$) çok yüksektir(11,23).

Diyabet NDMA demetilaz ve NDEA deetilaz enzimlerinin K_m değerlerinde kontrole göre ılımlı bir azalışa neden olduğu gözlendi. Diyabet sonrası Etanol verilen grupda NDMA demetilaz aktivitesındaki artış çok az olurken NDEA deetilaz aktivitesinde iki kata yakın artış bulundu. Aseton ve izopropil alkol verilen grupda ise NDEA deetilaz aktivitesinde değişiklik gözlenmezken, NDMA demetilaz aktivitesinde yine iki kata varan artış gözlendi. Buradan diyabetin her iki nitrozaminin dealkilasyonunu aynı oranda aktive ettiği fikri oluştu. Ama diyabet sonrası verilen kimyasalların aynı oranda etkili olmadığı ve Etanol'ün NDEA deetilazı daha fazla aktive ederken asetonun da NDMA demetilazı aktive ettiği görüldü.

Ratlarda Streptozotosin ile oluşturulan diyabetin NDMAd aktivitesini ve sitokrom P450ac (aseton/etanol)'yı indüklediği gösterilmiştir. Bir başka çalışmada ise Streptozotocin ve Alloksan ile oluşturulan diyabet rat modeli ve kendiliğinden oluşan diyabet rat modeli'nin detayları çalışılmıştır. Bütün bu diyabetlerde üç

parametrenin artığı bulunmuştur ; a) Sitokrom P450ac düzeyinin iyi bir göstergesi olduğu bilinen NDMA demetilaz aktivitesi b) Sitokrom P450ac düzeyi c) Sitokrom P450 mRNA sının düzeyi(24).

Diyabet ve açlık gibi ketojenik durumlar kadar aseton ve ketoncisimleri de NDMA demetilaz aktivitesini (sitokrom P450 IIЕ1'in düzeyinin yansımıası) indüklemekdedir. Açlık durumunda hepatik NDMA demetilaz aktivitesi ve kan aseton düzeyi arasında bir ilişki olduğu gösterilmiştir(83).

Etanol ve aseton verilen ratlarda in vivo ve in vitro NDMA demetilaz'ın indüklediği DNA metilasyonunun artığı ve sonuçta hepatotoksisite potansiyel olarak arttığı bildirilmiştir. NDMA'nın in vivo DNA metilasyonu üzerindeki bu etkisinin NDMA'nın yüksek dozlarında (>25 mg/kg vücut ağırlığı) meydana geldiği gösterilmiştir(80,84).

Açlık, diyabet oluşumu ve ayrıca aseton, etanol, izopropil alkol, benzen ve eter gibi birçok kimyasalın mikrozomal monooksigenaz sistemi ile etkileşimi birçok araştırcı tarafından incelenmiştir. NDMA'i metabolize eden sistemin etkisi incelenirken NADPH-sitokrom P450 redüktaz aktiviteleride irdelenmiştir. Aseton ve izopronal verilen Spraque Dawley ratlarında NADPH-sitokrom P450 redüktaz aktivitesinde ılımlı bir artış olduğu bulunmuştur. Uzun süre alkol verilen ratlarda Mikrozomal Etanol Oksitleyici Sistem (mikrozomal sitokrom P450 , NADPH-sitokrom P450 redüktaz ve fosfolipidler) aktivitesinin artığı gösterilmiştir (9,11,13,85,86).

Bir çok kimyasal indükleyicinin NDMA'd enzimi üzerindeki etkileri çalışılmıştır. Mikrozomal monooksigenaz sistem üzerine aseton ve izopropil alkolün etkisi çalışılmış ve nitrozamin metabolizmasında bu enzim sisteminin rolü olduğu gösterilmiştir. Aseton ve İzopropil alkol verilen ratların NADPH bağımlı NDMA

demetilaz aktivitesinin 3-4.5 kez arttığı ve NADPH-sitokrom P450 reduktaz aktivitesinde ve sitokrom P450 içerisinde de ılımlı bir artış olduğu bildirilmiştir (84). İnhibisyon çalışmaları, bir enzimin özgüllüğünü, aktif merkezin fiziksel ve kimyasal yapısı ve tepkimenin kinetik mekanizması hakkında bilgi verir. Diyabet ve diyabet sonrası indükleyiciler verilen ratlarda NDMA ve NDEA i metabolize eden sistemin indüklendiğini gözledik. Bu sistemin her iki nitrozaminin aynı anda bulunduğu deney ortanımdaki davranışını izlemek ve indükleyicilerin farklı izoenzimleri indükleyip indüklemediğini araştırmak için inhibisyon çalışması yapdık.

NDEA nin dealkilasyonuna NDMA nin etkisini araştırmak için yapılan çalışmada, NDEA nin dealkilasyonunun NDMA tarafından kompetitif olarak inhibe edildiği gözlenmiştir. Dixon grafiği Io (NDMA)'a karşı $1/V_o$ ($1/\text{asetaldehit nmol/mg/dakika}$) çizilerek Ki değerleri bulunmuştur.

Bilindiği gibi Ki, enzimin inhibitöre karşı ilgisinin bir ölçüsüdür. Herhangi bir substrat ve inhibitör derişiminde Ki'nin düşmesi inhibisyon derecesini yükseltir.

Kontrol grubuna göre Ki değerlerinde artış olduğu gözlandı. Ki değerindeki bu artış enzim inhibitör (NDMA) kompleksinin azaldığını yani enzim substrat (NDEA) kompleksinin daha fazla olduğunu gösterir. Diğer bir değişle enzimin inhibitöre karşı ilgisinin azaldığını substrata karşı ilginin arttığını gösterir. Kontrol grubuna göre inhibisyon derecesi azalmaktadır.

NDMA nin dealkilasyonuna NDEA nin etkisini araştırmak için yapılan çalışmada NDMA nin dealkilasyonunu NDEA nin kompetitif olarak inhibe ettiği gözlenmiştir. Dixon grafiği, Io (NDEA) karşı $1/V_o$ ($1/\text{formaldehit nmol/mg/dakika}$) çizildi. Ki değerleri bulundu. Kontrol grubuna göre Ki değerlerinde çok az azalış olduğu gözlandı.

Tavşan ve ratlarda sitokrom P450 izoenzimleriyle yapılan çalışmalarda sitokrom P450 klasik inhibitörü olarak bilinen SKF-525 A sitokrom P450 II E1 bağımlı NDMA demetilazı inhibe etmediği bildirilmiştir. Bununla beraber, reaksiyonun 2-feniletilamin, 2-amino 1,2,4-triazol ve pyrozole gibi klasik olmayan inhibitörlerle inhibe edildiğide gösterilmiştir(11)

İnhibisyon çalışması sonucunda, her iki nitrozaminin aynı anda ve aynı miktarda bulunduğu deney ortamında, nitrozaminlerin aynı oranda metabolize olduğu görüldü. Metabolize eden sistemin her iki nitrozamini metabolize etmek için yarıştı gözlendi. Diyabet ve diyabet sonrası verilen indükleyicilerin sadece bir tane izoenzimi indüklediği düşüncesi desteklendi.

Endüstriyel toplumlarda yaygın olarak kullanılan ve çevre kirleticisi olarak bilinen nitrozaminler birçok canlı yaşamını olumsuz olarak etkilemektedir. Nitrozaminlerin karaciğerde metabolize edilmesi (aktivasyon) sonucu oluşan metabolitlerin kendilerinden daha fazla karsinojenik olduğu bilinmektedir. Nitrozaminlere maruz kalan canlılarda bu aktivasyon işlemi aynı oranda olmaz. Diyabetik canlılarda aktivasyon işlemi normal canlılara göre daha hızlıdır. Diyabetik olan canlıların aseton, etanol ve izopropil alkol gibi kimyasallara maruz kalması bu aktivasyon işlemini daha da hızlandırdığı tesbit edilmiştir. Bu nedenle normal canlılardan daha fazla diyabetik canlıların, aseton, etanol ve izopropil alkol gibi kimyasallara maruz kalan canlıların nitrozamin ve nitrozamin içeren besin maddelerinden kendilerini korumaları canlı sağlığı için önem taşımaktadır.

ÖZET

Bu çalışmada, kimyasal olarak diyabet oluşturulan ve diyabet oluşturulduktan sonra etanol, aseton ve izopropanol uygulanan ratların karaciğer mikrozomal sisteminde Nitrozodimetilamin ve N-Nitrozodietilaminin denitrozasyon ve dekilasyon tepkimeleri incelendi.

Her iki nitrozaminin de denitrozasyon tepkimesi sonucu oluşan nitrit miktarı tayin edilip nmol/mg mikrozomal protein/dakika olarak verildi. Dealkilasyon tepkimelerinde ise, Nitrozodimetilaminin demetilasyonunda oluşan formaldehit ve N-Nitrozodietilaminin deetilasyonunda oluşan asetaldehit miktarları tayin edilip nmol/mg mikrozomal protein/ dakika olarak verildi.

Diyabet ve diyabet sonrası indükleyici verilen ratlarda ; her iki nitrozamini metabolize eden dealkilasyon ve denitrozasyon enzimlerinin Km ve Vmax değerleri bulundu. Her iki nitrozamin için, kontrol grubuna göre diyabetin, diyabetik gruba göre de indükleyici uygulanan enzimlerin induklendiği görüldü.

İnhibisyon çalışması sonucunda, nitrozaminlerin aynı oranda metabolize olduğu görüldü. Metabolize eden sistemin her iki nitrozamini (kompetatif olarak inhibe ettiği) metabolize etmek için yarıştığı gözlandı. Diyabet ve diyabet sonrası verilen İndükleyicilerin sadece bir tane izoenzimi induklendiği düşüncesi desteklendi.

SUMMARY

In this study, following the administration of inducers such as ethanol, acetone and isopropanol, denitrosation and dealkylation reactions of N-Nitrosodimethylamine and N-Nitrosodiethylamine were investigated in liver microsomal system of rats with diabetes and which were occurred by chemicals.

Nitrit amounts as a denitrosation reaction product for both nitrosamines were detected and given as nmol/mg microsomal protein/min Formaldehyde and acetaldehyde which are occurred demethylation of N-Nitrosodimethylamine and deethylation of N-Nitrosodiethylamine, respectively as a product of dealkylation reactions were also detected and given as nmol/mg microsomal protein/min Km and Vmax values of dealkylation and denitrosation enzymes which act metabolism of both nitrosamines were assessed in diabetic and inducer applied diabetic rats. Enzyme's inductions were increased statistically significant in rats with diabetes and inducer applied diabetic rats compare to control and diabetic group, respectively.

As a result of inhibition studies, nitrosamines were metabolized given same ratio and inhibited competitively so, it is supported that there is only one izoenzyme can be induce in diabetic and inducer applied diabetic rats.

KAYNAKLAR :

1. **Vural, N.** : Ksenobiyotiklerin Biyotransformasyon mekanizmaları : *Toksikoloji. Ankara Üniversitesi yayın evi*. 56:34-51,1984.
2. **Pacifici, G.M., Fracchia G.N.** : Drug Metabolism in vivo : Role of drug metabolism in drug disposition and effects. *Advances in Drug Metabolism in man*. Chapter 1: 3-35, 1995.
3. **Murray, R.K., Mayes, P.A., Granner, D.K., Rodwell, V.W.** : Ksenobiyotiklerin metabolizması. *Harper'in Biyokimya*. Konu 60:811-817 1993.
4. **Kayaalp, S.O.**: İlaçların metabolizması (Biyotransformasyon). *Tibbi Farmakoloji*. 5:91-127, 1987.
5. **Tu Y.Y., Sonnenberg J., Lewis K.F., Yang C.S.**: Pyrazole-Induced cytochrome P450 in rat liver microsomes: an isozyme with high affinity for dimethylnitrosamine. *Biochem. Biophys. Res. Commun.*, 103:905-12, 1981.
6. **Yang C.S.** : Interactions between solubilized cytochrome P450 and hepatic microsomes. *J. Biol. Chem.*, 252:293, 1977.
7. **Yang C.S., Stirickhart F.S., and Kicha L.P.**: Interaction between NADPH-cytochrome P450 reductase and hepatic microsomes. *Biochem. Biophys. Acta*, 509:32, 1978.
8. **Mc Cann, j., Choi, E., Yamasaki, E., Ames, N.B.** : Detection of carcinogens as mutagens in the Salmonella Microsome Test : Assay of 300 Chemicals. *Proc. Nat Acad. Sci* 72 : 5135-39, 1979.
9. **Yang C.S., Smith T.J., Hong J., Zhou S.** : Kinetics and enzymes involved in the metabolism of nitrosamines. *ACS Symposium Series 553*, Chapter 14, 176-69, 1994.

10. Yang, C.S., Patten, C.J, Ishizaki, H., Yoo, J.H. : Induction purification and characterization of cytochrome P450IIIE . *Methods In Enzymology*, 206: 595-603, 1991.
11. Yang C.S., Yoo JSH., Ishizaki H., Hong J. : Cytochrome P450IIIE1 : Roles in nitrosamine metabolism and mechanisms of regulation. *Drug Metabolism Reviews*, 22:147-59, 1990.
12. Koenigsmann, M., Schmerold, I., Jeltsch, W., Ludeke, B., Kleihues P and Wiessler M. : Organ end cell specificity of DNA methylation by N-Nitrosomethylamylamin rat. *Cancer Research*, 48 : 5482-86, 1988.
13. Yong, Y.T., Peng, R., Chang, Z., Yang, C.S.: Induction of a high affinity nitrosamine demethylase in rat liver microsomes by acetone and isopropanol. *Chem.Biol. Inter.*, 44: 247-60,1983.
14. Gonzalez, F.J. : The molecular biology of cytochrome P450s. *Pharmac. Reviews*. 40: 243-288, 1989.
15. Baskin L.S., Yang C.S.: Cross-Linking studies of cytochrome P450 and reduced nicotinamide adenine dinucleotide phosphate-cytochrome P450 reductase. *Biochemistry*, 19:2260-64, 1980.
16. Devlin T.M. : Biotransformations : The cytochromes P450. *Textbook of Biochem. with Clin. Correlations*, Chapter 23:987-89, 1992.
17. Doehmer, J., Goeptar, A.R., Vermeulen, Nico P.E.: Cytochromes P450 and drug resistance. *Cytotechnology*, 12 : 357-366,1993.
18. Astrom, A., DePierre J.W. : Rat-liver microsomal cytochrome P450 : purification, characterization, multiplicity and induction. *Biochem. Biophys. Acta*, 853: 1-27, 1986.
19. Ryan, D.E., Levin W.: Purification and characterization of hepatic microsomal cytochrome P450. *Pharmac. Ther.* 45:153-239,1990.

20. **Yoo, J-S.H.**, Ishizaki, H., Yang C.S. : Roles of cytochromeP450IIE1 in the dealkylation of N-nitrosodimethylamine and N-nitrosodiethylamine in rat liver microsomes. *Carcinogenesis*, 11(12):2239-2243, 1990.
21. **Yang C.S.**, Tu Y.Y. : Demethylation and denitrosation of nitrosamines by cytochrome P450 isozymes. *Arch. Biochem. Biophys.*. 242(1):32-40,1985.
22. **Levin, W.**, Thomas, P.E., Oldfield N., Ryan D.E. : N-Demethylation of N-Nitrosodimethylamine catalyzed by purified rat hepatic microsomal cytochrome P450 : Isozyme specificity and role of cytochrome b₅. *Arch. Biochem. Biophys.*. 248(1):158-165, 1986.
23. **Patten, C.J.**, Ning S.M., Lu, A.Y.H., Yang, C.S.: Acetone-inducible cytochrome P450 : purification catalytic activity, and interaction with cytochrome b₅. *Arch. Biochem. Biophys.*. 251(2):629-638,1986.
24. **Dong, Z.**, Hong, J., Ma, Q., Li D., Bullock, J., Gonzalez, J.F., Park, S.S., Gelboin, H.V., Yang, C.S. : Mechanism of induction of cytochrome P450ac (P450_j) in chemically induced and spontaneously Diabetic rats. *Arch. Biochem. Biophys.*. 263(1):29-35, 1988.
25. **Fujii-Kuriyama, Y.**, Mizukami, Y., Kawajiri, K., Sogawa, K., Muramatsu, M.: Primary structure of a cytochrome P450 : coding nucleotide sequence of phenobarbital-inducible cytochrome P450 cDNA from rat liver. Proc. *Natl. Acad. Sci. USA* 79:2793-2797, 1982.
26. **Gonzalez, F.J.** : Molecular genetics of the P450 superfamily. *Pharmac. Ther.* 45: 1-38, 1990.
27. **Hodgson, E.**, Silver, I.S., Butler, L.E., Lawton, M.P., Levi P.E.: Biotransformation : *Metabolism. Handbook of Pesticide Toxicology*. Chapter 3(1):107-143, 1991.
28. **Suzuki, H.**, Kaku, M., Hori, S., Shimoyama, T.: Effect of dietary protein depletion and on demethylation and denitrosation of N-nitrosodimethylamine by rabbit liver microsomes. *J. Nutr. Sci Vitaminol*, 37:285-96, 1991.

29. **Yang, C.S.**, Yoo J-S.H.: Enzyme specificity in the metabolic of N-Nitrosodimethylamine to a mutagen for Chinese Hamster V79 Cells. *Cancer Research*. 45:5569-5574,1985.
30. **Fine, D.H.**, Rounbehler, D.P., Pellizzari, E.D. : N-Nitrosodimethylamine in air. *Bull. Environ. Contam. Toxicol.* 15:739-746, 1976.
31. **Lijinsky, W.**, Epstein, N.N. : Nitrosamines as environmental carcinogens. *Nature*. 225:21-23, 1975.
32. **Scanian, R.A.** : N-Nitrosamines in foods. *Crit. Rev. Food Technol.* 5:357, 1975.
33. **Andrews, A.W.**, Lijinsky, W., Snyder, S.W.: Mutagenicity of amino drugs and their products of nitrosation. *Mutation Res.*. 135:105-108, 1984.
34. **Eisenbrand, G.**, Ungarer, O., Preussmann, R. : Formation of N-nitroso compounds from agricultural chemicals and nitrite, *I.A.R.C. Sci. Publ.*9: Lyon,France, 1973.
35. **Gough, T.A.** : An examination of foodstuffs for the presence of volatile nitrosamines *J.S.F.A.* 28:345-351, 1977.
36. **Morrison, J.B.**, Hecht, S.S. : A sensitive new method for the detection of NMOR formation in vivo. *Cancer Research*. 44(7),2873-2877, 1984.
37. **Cooney, R.V.**, Ross, P.D., Bartolini, G.L., Romseyer, J. : N-Nitrosamine formation : Factors influencing the aqueous reactions of nitrogen oxide with morfoline. *Environ. Sci.* 21:77-83, 1987.
38. **IARC** Monographs on the evaluation of the carcinogenic risk of chemicals to humans. : Some N-nitroso compounds, 17:83-125, 125-175,1978.
39. **Appel, K.E.**, Christion, E.R., Hildebrandt, G.A.: Oxidative dealkylation and reductive denitrosation of nitrosomethylaniline in vitro. *Chem. Biol. Interact.* 53:69-76, 1885.

40. **Yang, C.S.**, Hong, J.Y.: Molecular aspects of cytochrome P450IIE1 and Its roles in chemical toxicity. Molecular Aspects of Oxidative Drug Metabolizing Enzymes : Their Significance in Environmental Toxicology, Chemical Carcinogenesis and Health. *NATO ASI Series Cell Biology*, Vol.90:181-192,1995.
41. **Lee, M.**, Ishizaki, H., Brady, J.F., Yang, C.S. : Substrate specificity and alkyl group selectivity in the metabolism of N-nitrosodialkylamines. *Cancer Research*. 49:1470-1474, 1989.
42. **Magee, P.N**, Barnes, J.M.: Carcinogenic nitroso compounds. *Adv. Cancer Research*. 10:163-246, 1967.
43. **Wade, C.**, Yang, C.S., Metral, C.J., Roman, J.M., Hrabie, J.A., Riggs, C.W., Anjo, T., Keefer, L.K., Mico, B.A.: Deuterium isotope effect on denitrosation and demethylation of N-nitrosodimethylamine by rat liver microsomes. *Cancer Research*. 47:3373-3377, 1987.
44. **IARC** : IARC Monographs on the evaluation of the carcinogenic risk of chemicals to man. 1: Lyon 95-106, 1972.
45. **Fine, D.H.**, Rounbehler, D.P., Belcher, N.M., Epstein, S.S.: N-nitroso compounds : detection in ambient air. *Science*. 192:1328-1330, 1976.
46. **Fine, D.H.**, Rounbehler,D.P.: N-Nitroso compounds in water. In : Keith, L.H., ed. Identification and analysis of organic pollutants in water. *Ann Arbor, Michigan Ann Arbor Science Press*, 255-264, (1967).
47. **Havery, D.C.**, Kline,D.A., Miletta, E.M., Joe, F.L., Fazio, T.: Survey of food products for volatile N-nitrosamines. *J.Ass. Off. Analyt. Chem.* 59:540-546, 1967.
48. **Johnson,D.E.**, Rhoades, J.W.: N-Nitrosamines in smoke condensate from several varieties of tobacco. *J.Nat.Cancer Inst.* 48:1845-1847, 1972.

49. **Rounbehler, D.P.**, Ross, R., Fine, D.H., Iqbal, Z.M., Epstein, S.S.: Quantitation of dimethylnitrosamine in the whole mouse after biosynthesis in vivo from trace levels of precursors. *Science*. 197:917-918, 1977.
50. **Heath, D.F.** : The Decomposition and toxicity of dialkylnitrosamines in rats. *Biochem. J.* 85:72-9, 1962.
51. **Magee, P.N.**, Montesano, R., Preussmann, R. : N-Nitroso compounds and related carcinogens. In : Searle, C.E., ed., Chemical Carcinogens (ACS Monograph 173), Washington DC, *American Chemical Society*, 491-625, 1976.
52. **Lake, B.G.**, Phillips, J.C., Heading, C.E., Gangolli, S.D.: Studies on the in vitro metabolism of dimethylnitrosamine by rat liver. *Toxicology* 5:297-309, 1976.
53. **Argus, M.F.**, Hoch-Ligeti, C. : Comparative study of carcinogenic activity of nitrosamines. *J. Nat.Cancer Inst.* 27:695-709, 1961.
54. **Appel, K.E.**, Ruhl, C.S., Hildedrandt, G.A.: Metabolic inactivation of N-nitrosamines by Cyt P450 in vitro and in vivo. N-Nitroso Compounds : Occurrence, Biological Effects and Relevance to Human Cancer. *I.A.R.C. Sc. Publ.* 57:443-457, Lyon, 1984.
55. **Stumpf, R.**, Margison, G.P., Montesano, R., Pegg, A.E.: Formation and loss of alkylated purines from DNA of hamster liver after administration of DMN. *Cancer Research*. 39:50-54, 1979.
56. **Mendoza, F.T.**, Lopez, R.R., Villa, T.S.: Dose-dependent DNA ruptures induced by the procarcinogen dimethylnitrosamine on primary rat liver cultures. *Cancer Research*. 39:3254-3257, 1979.
57. **Magee, P.N.**, Farber, E.: Methylation of rat liver nucleic acid by dimethylnitrosamine in vivo. *Biochem.J.* 83:114-124, 1962.
58. **Swann, PF.**, Magee P.N.: The alkylation of nucleic acids of the rat by N-Methyl-N-Nitrosourea, dimethylnitrosamine, dimethylsulphate and methyl-methanesulphonate. *Biochem.J.* 110:39-46, 1968.

59. **Sen, N.P.**, Smith, D.C., Schwinghamer, L. Marleau, J.J.: Diethylnitrosamine and other N-nitrosamines in foods. *J.Ass.Off Analyt. Chem.* 52:47-52, 1969.
60. **Weckes, U.**, Gletten, F., Brusick, D. : Conversion of DENA and DMNA to mutagenic metabolites by microsome fraction from liver, lung and kidney tissues of 4 mouse strainnes. *Mut. Res.ect Enveran. mutagenesis Relat. Subs.* 26:453, 1973.
61. **Rojewsky, M.**, Douber, W. : Liver carcinogenesis by DENA in the rat. *Science*. 152:83-85, 1966.
62. **Guengerich F.P.**, Metabolic reaction types of reactions of cytochrome P450 enzymes : Chenkman, J.B., Greim, H ed. *Cytochrome P450 Heidelberg : Springer*, 89-103, 1993.
63. **Craddock, U.**, Ansley, M.: Sequential changes in DNA polymerase α and β during DENA induced carcinogenesis. *Biochem. Biophys. Acta.* 564:15-22, 1979.
64. **Swann, P.F.**, Magee, F.N. : Nitrosamine-induced carcinogenesis. *Biochem.J.* 110:39-47, 1986.
65. **Witschi, H.** : The effects of DENA on RNA and protein synthesis in the liver and lung of Syrian Golden Hamster. *Biochem.J.* 136, 789-794, 1971.
66. **Pegy, E.**, Balog, B. : Formation and subsequent excision of O⁶-ethylquanine from on rat liver following administration of DENA. *Cancer Research*, 39:5003-09, 1979.
67. **İihan, S.**, Atalay, A. : Dietilnitrosaminin insan kromozomlari üzerine etkileri. *C.Ü.Tip Fak Der.* 7(1-2):28-32, 1985.
68. **Kitagawa, T.**, Pitot, H.C. : The regulation of serin dehydratase and Glucose-6-phosphatase in hyperplastic nodules of liver during DENA and N-2-fluorenylacetamide feeding. *Cancer Research*. 35:1075-1084, 1975.

69. Atalay, A. : Nitrozolu bileşiklerin sı çan karaciğer laktat dehidrogenaz enzimine in vitro etkisi. *C.Ü.Tıp Fak Der.* 3:208-214, 1981.
70. Atalay, A. : Fare karaciğer malat dehidrogenaz enziminin dietilnitrozamin tarafından inhibisyonu. *Biyokimya Dergisi.* 10(1):22-28, 1985.
71. Atalay, A., Aker, A. : Maya glukoz-6-fosfat dehidrogenaz'ı nı n dietilnitrozamin tarafından inhibisyonu. *Doğa Tıp ve Ecz. Derg.* 11(11):8-12, 1985.
72. Çetinkaya, Ö., Çetinkaya, S., Atalay, A. : Effect of intraperitoneal administration of some nitrosamine on mouse liver Na/K ATP ase activies. *Tr. J.Medical Sciences Tübitak* 22:81-83, 1994.
73. Siliğ, Y., Çetinkaya, Ö., Aker, A., Atalay, A. : L-Valin amino asitinin insan eritrosit membranı ndan taşı nı mı na dietilnitrozaminin etkisi. *Biyokimya Dergisi.* 3:65-75, 1992.
74. Dong, Z., Hong, J., Ma, Q., Li, D., Bullock, J., Gonzalez, J.F., Park, S.S., Gelboin, H.V., Yang, C.S.: Mechanism of induction of cytochrome P450ac (P450j) in chemically induced and spontaneously diabetic rats. *Arch. Biochem. Biophys.*, 263: 29-35, 1988.
75. Chau I, Y., Dagani, D., Archer, M.C. : Kinetic studies on the hepatic microsomal metabolism of dimethylnitrosamine, diethylnitrosamine and methylethylnitrosamine in the rat. *J.Natl. Cancer Inst.* 61(2):517-520, 1978.
76. Scopes, R.K. : Methods for measuring protein concentration. *Protein Purification.* Capth. 8. 5:239-243, 1982
77. Lorr, N.A., Tu, Y.Y., Yang, C.S. : The nature of nitrosamine denitrosation by rat liver microsomes. *Carcinogenesis* 3(9):1039-1043, 1982.
78. Dagani, D., Archer, M.C.:Colorimetric determination acetaldehyde in the presence of formaldehyde. *Anal. Biochem.*. 87, 455-459, 1978.

79. **Funae, Y.**, Imaoka, S. : Cytochrome P450 in rodents. Handbook of experimental pharmacology Vol. 105 *Cytochrome P450*, Springer-Verlag Berlin Heidelberg Chapter 15 221-238, 1993.
80. **Lorr, N.A.**, Miller, K. W., Chung, H.R., Yang, C.S.: Potentiation of the hepatotoxicity of N-Nitrosodimethylamine by Fasting, Diabetes, Acetone and Isopropanol. *Toxicol. App. Pharm.*. 173:423-431, 1984.
81. **Yong, Y.T.**, Peng, R., Chang, Z., Yang, C.S.: Induction of a high affinity nitrosamine demethylase in rat liver microsomes by acetone and isopropanol. *Chem.Biol Interact.*, 44:247-260, 1983.
82. **Peng, R.**, Tennant, P., Lorr, N.N., Yang, C.S.: Alterations of microsomal monooxygenase system and carcinogen metabolism by streptozotocin-induced diabetes in rats. *Carcinogenesis*. 4,6:703-708, 1983.
83. **Miller, K.W.**, Yang, C.S.: Studies on the mechanisms of induction of N-nitrosodimethylamine demethylase by fasting, acetone and ethanol. *Arch. Biochem. Biophys.*. 229:483-491, 1984.
84. **Hong, J.Y.**, Yang,C.S. : The nature of microsomal of N-nitrosodimethylamine demethylase and its role in carcinogen activation. *Carcinogenesis* 6:1805-1809, 1985.
85. **Dignam, J.D.**, Strobel, H.W.:Preparation of homogenous NADPH-cytochrome P450 reductase from rat liver. *Biochem. Biophys. Res. Commun.* 63:848-82, 1975
86. **Suzuki, H.**, Kaku, M., Hori, S.: Shimoyama T. Effect of dietary protein depletion and on demethylation and denitrosation of N-nitrosodimethylamine by rabbit liver microsomes. *J. Nutr. Sci Vitaminols.*, 37:285-96, 1991.

ÖZGEÇMİŞ

1966 yılında Sivas'ta doğdu. İlk, orta ve lise öğrenimini Sivas'ta tamamladı. 1988 yılında Sivas Cumhuriyet Üniversitesi Fen Edebiyat Fakültesi Kimya bölümünden mezun oldu. Aynı yıl Cumhuriyet Üniversitesi Tıp Fak. Biyokimya Anabilim Dalı'nda Yüksek lisans öğrenimine başladı. 1991 yılında Yüksek Lisans eğitimini tamamladı. 1991 yılında Cumhuriyet Üniversitesi Sağlık Bilimleri Enstitüsünün açmış olduğu kadrolu Doktora sınavını kazanıp Cumhuriyet Üniversitesi Tıp Fakültesi Biyokimya Anabilim Dalı'nda Araştırmama Görevlisi olarak Doktora eğitimime başladı. Halen aynı üniversitede araştırma görevlisi olarak çalışmaktadır.

Evli ve bir çocuk babasıdır.